

図 4.3.2-19(1) 加熱試験で細片化した燃料ペレット片 No. 5 の断面画像
(エッチング前、AP2-3 燃料セグメント)

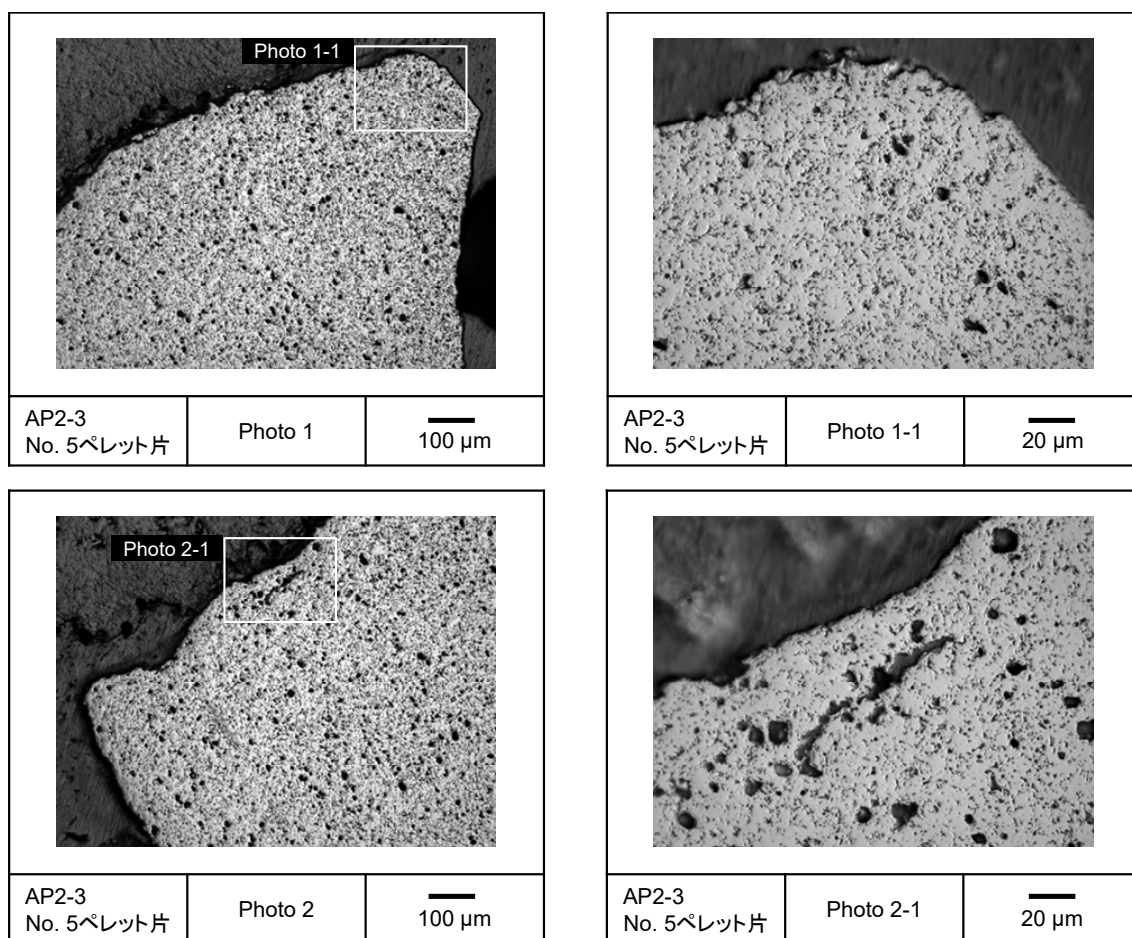


図 4.3.2-19(2) 加熱試験で細片化した燃料ペレット片 No. 5 の断面画像
(エッチング前、AP2-3 燃料セグメント)

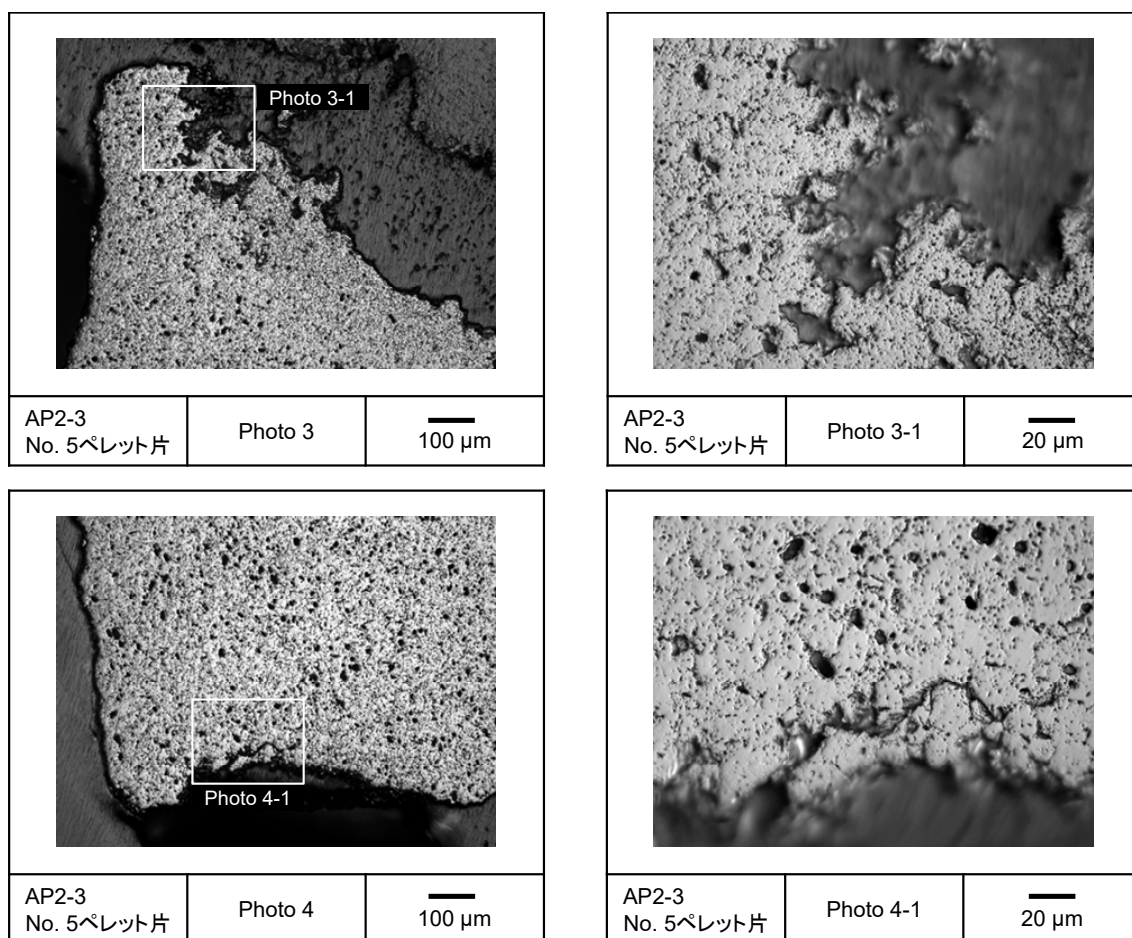


図 4.3.2-19 (3) 加熱試験で細片化した燃料ペレット片 No. 5 の断面画像
(エッチング前、AP2-3 燃料セグメント)

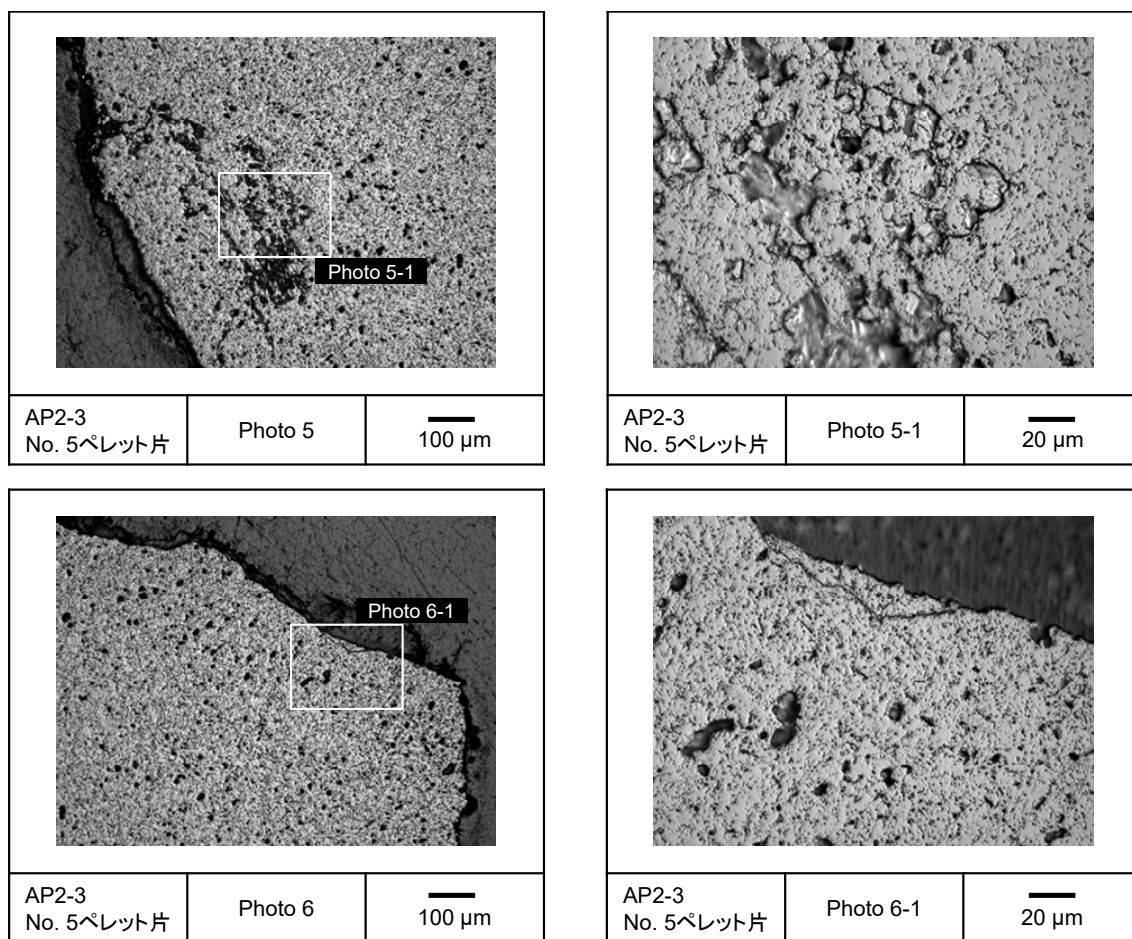


図 4.3.2-19(4) 加熱試験で細片化した燃料ペレット片 No. 5 の断面画像
(エッチング前、AP2-3 燃料セグメント)

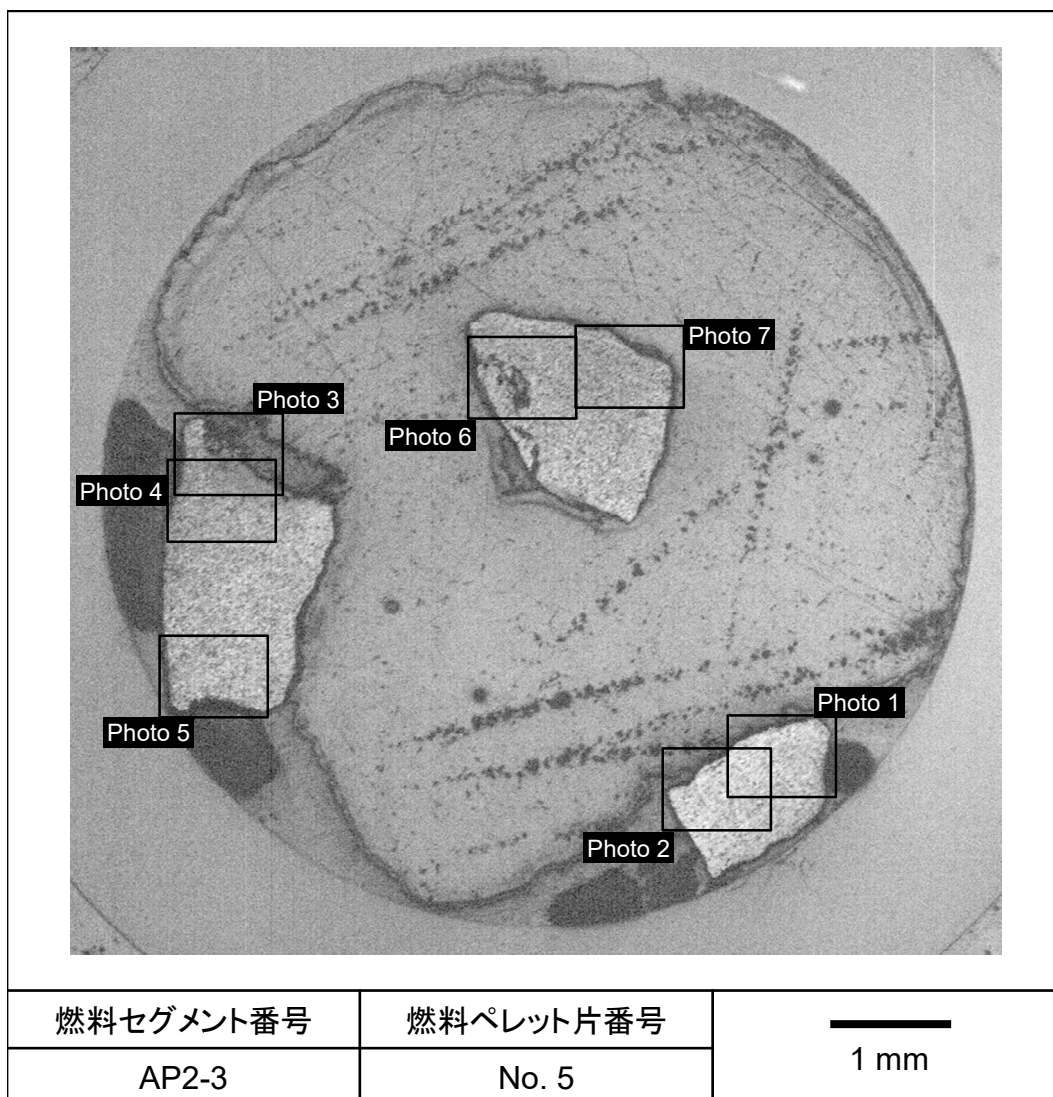


図 4.3.2-20(1) 加熱試験で細片化した燃料ペレット片 No. 5 の断面画像
(エッチング後、AP2-3 燃料セグメント)

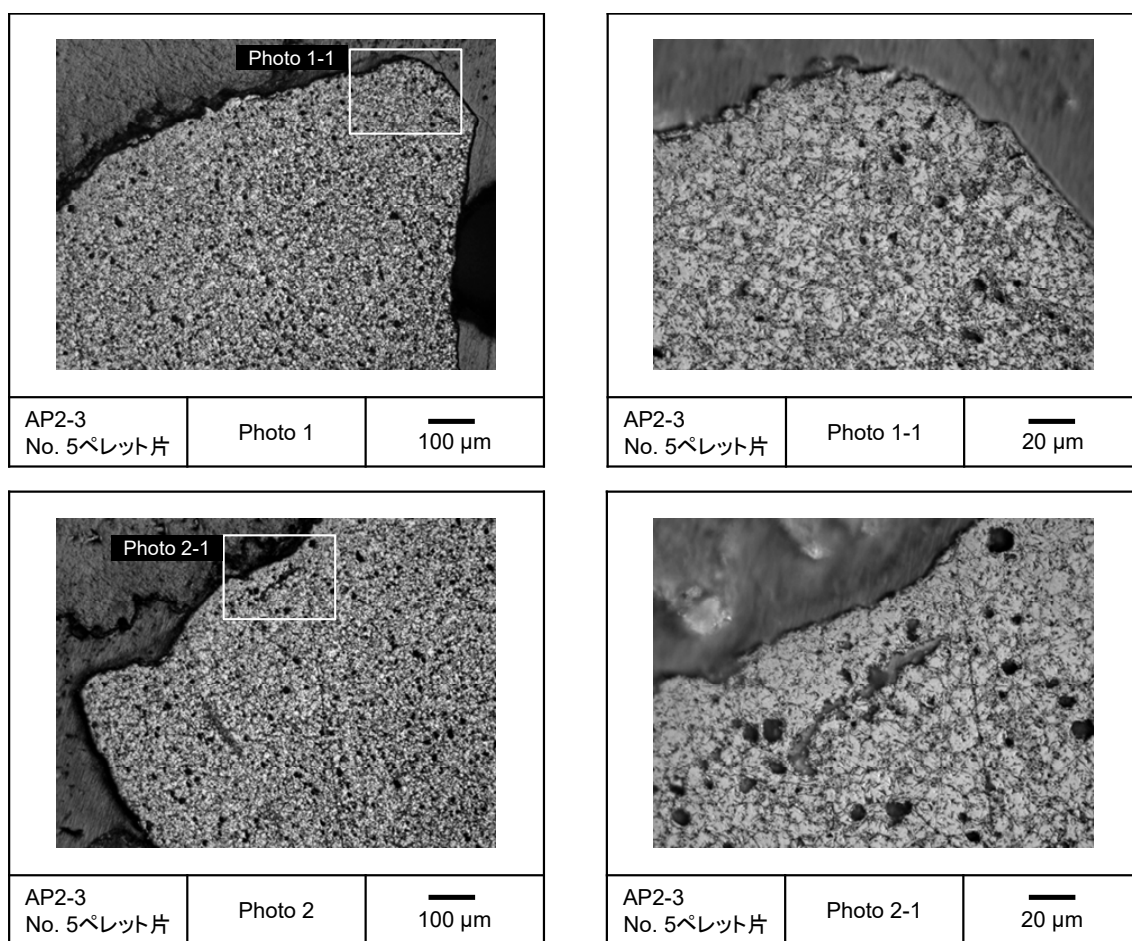


図 4.3.2-20(2) 加熱試験で細片化した燃料ペレット片 No. 5 の断面画像
(エッチング後、AP2-3 燃料セグメント)

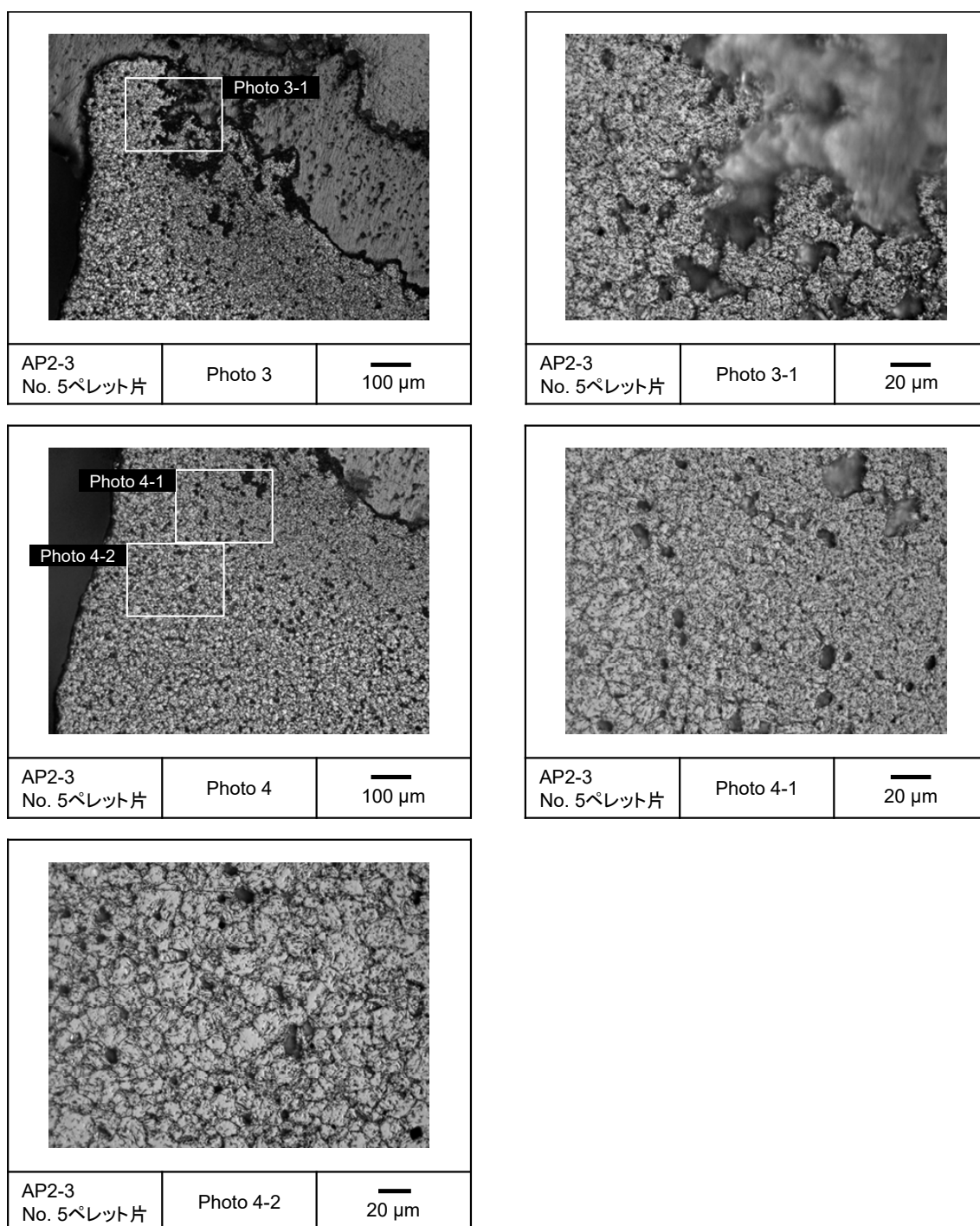


図 4.3.2-20(3) 加熱試験で細片化した燃料ペレット片 No. 5 の断面画像
(エッチング後、AP2-3 燃料セグメント)

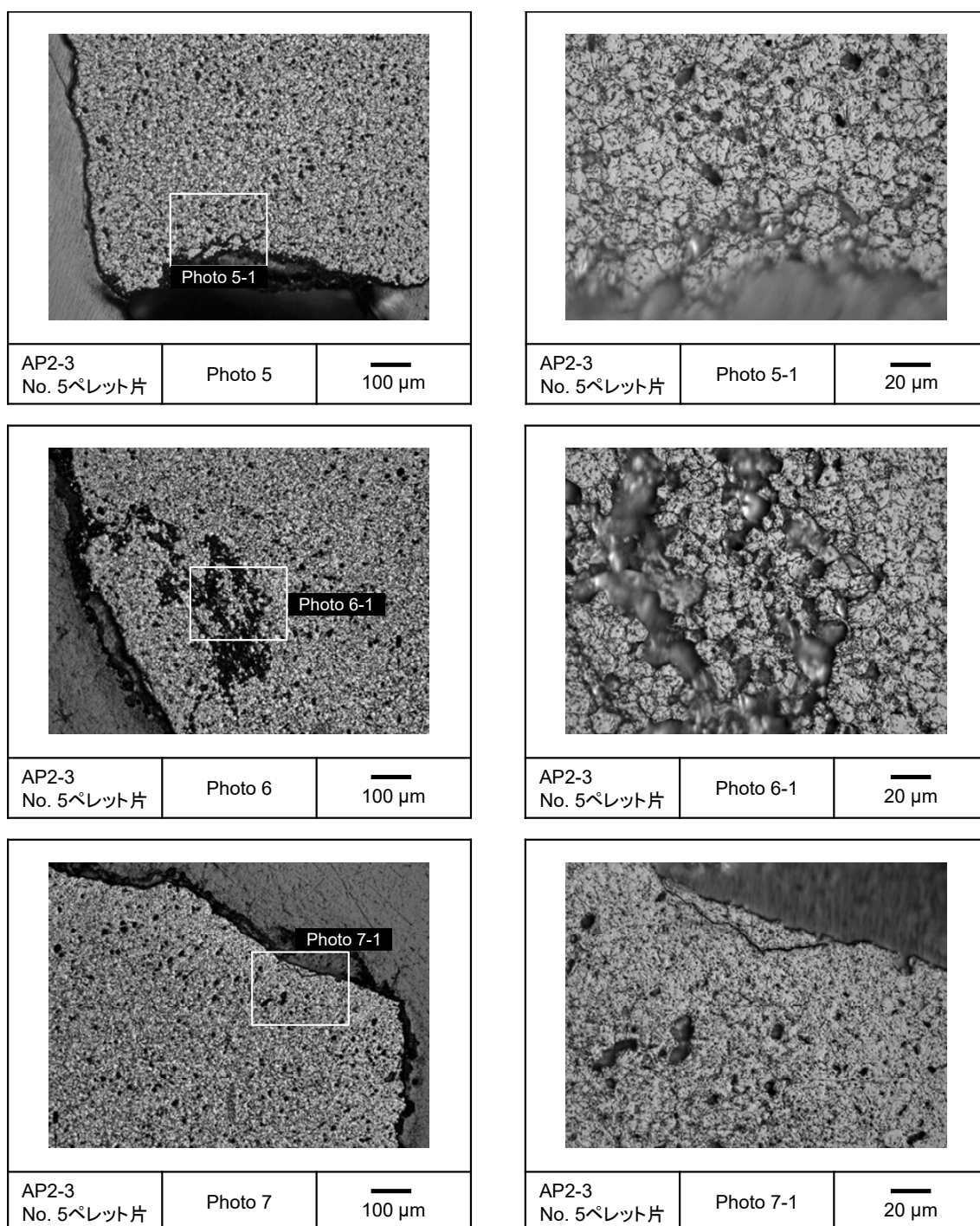


図 4.3.2-20 (4) 加熱試験で細片化した燃料ペレット片 No. 5 の断面画像
(エッチング後、AP2-3 燃料セグメント)

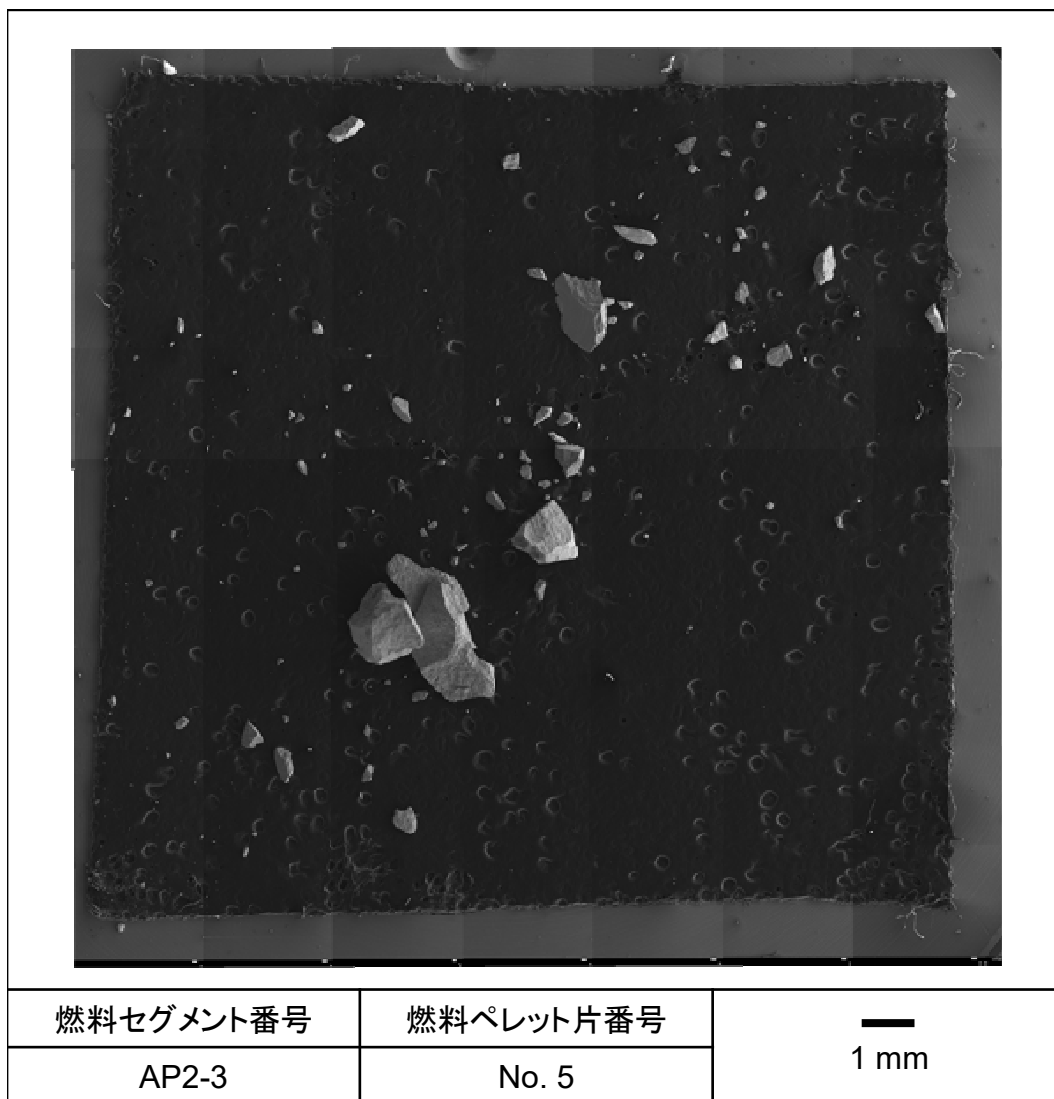


図 4.3.2-21 加熱試験で細片化した燃料ペレット片 No. 5 の SEM 画像
(マクロ画像、AP2-3 燃料セグメント)

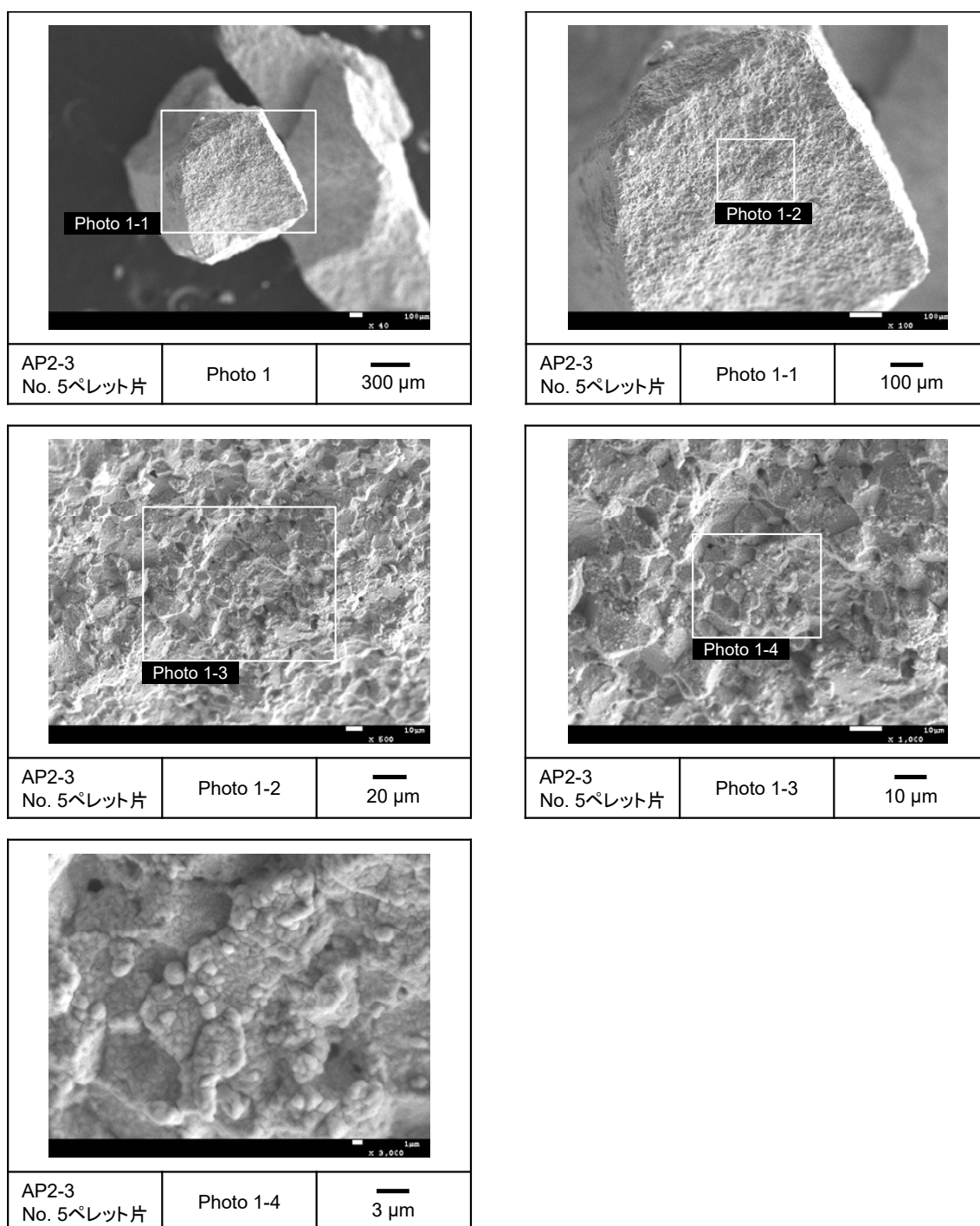


図 4.3.2-22(1) 加熱試験で細片化した燃料ペレット片 No. 5 の SEM 画像
(AP2-3 燃料セグメント)

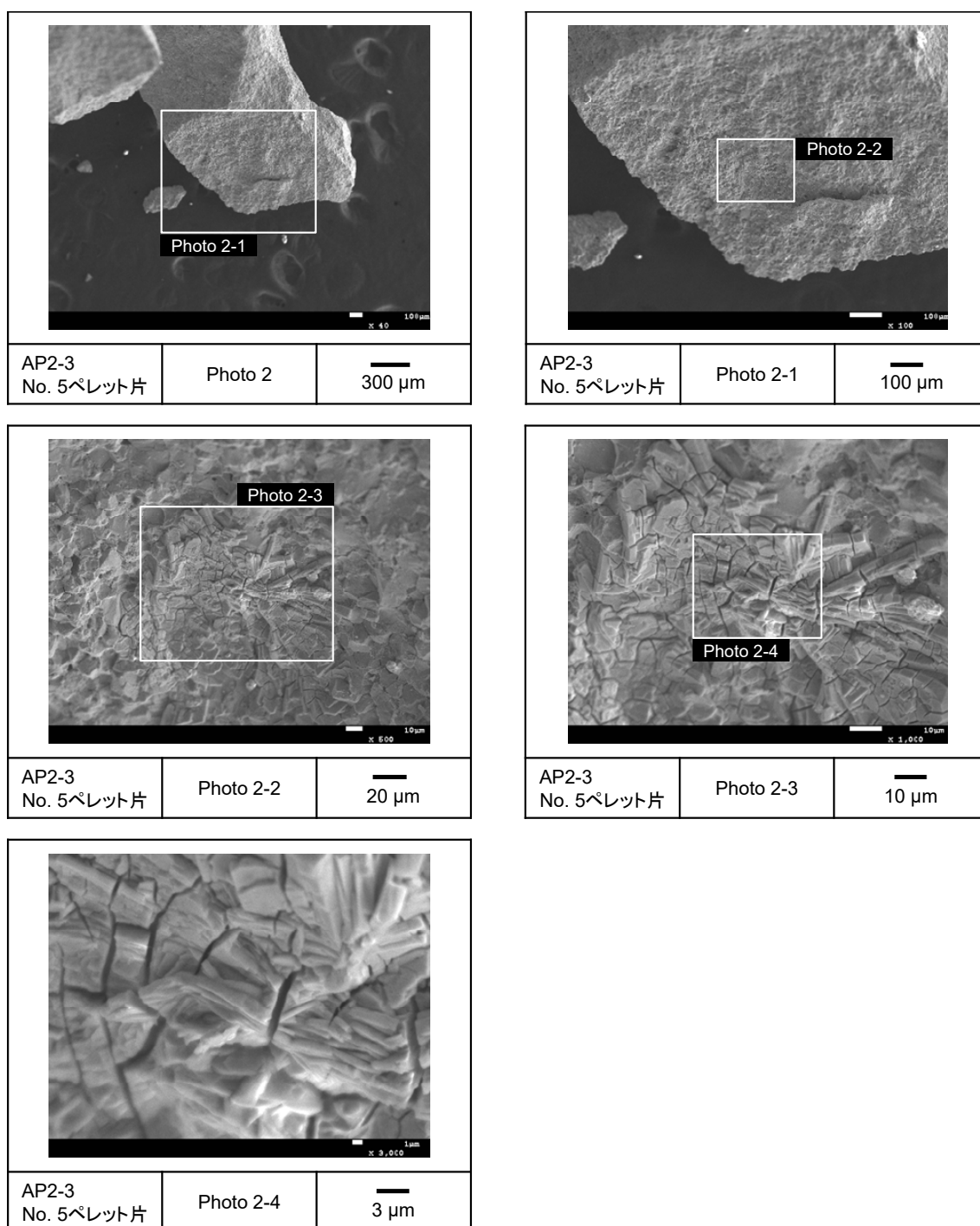


図 4.3.2-22(2) 加熱試験で細片化した燃料ペレット片 No. 5 の SEM 画像
(AP2-3 燃料セグメント)

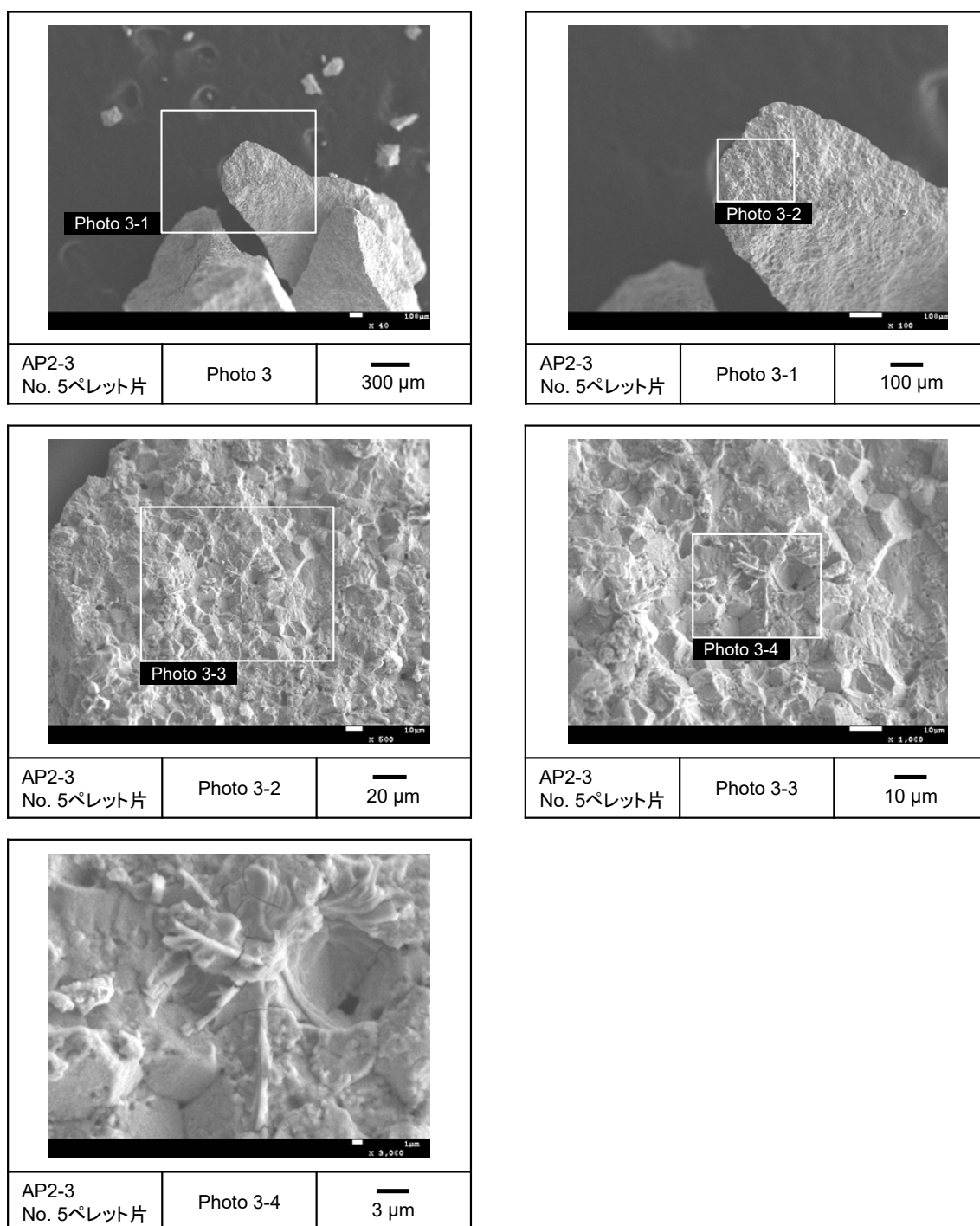


図 4.3.2-22(3) 加熱試験で細片化した燃料ペレット片 No. 5 の SEM 画像
(AP2-3 燃料セグメント)

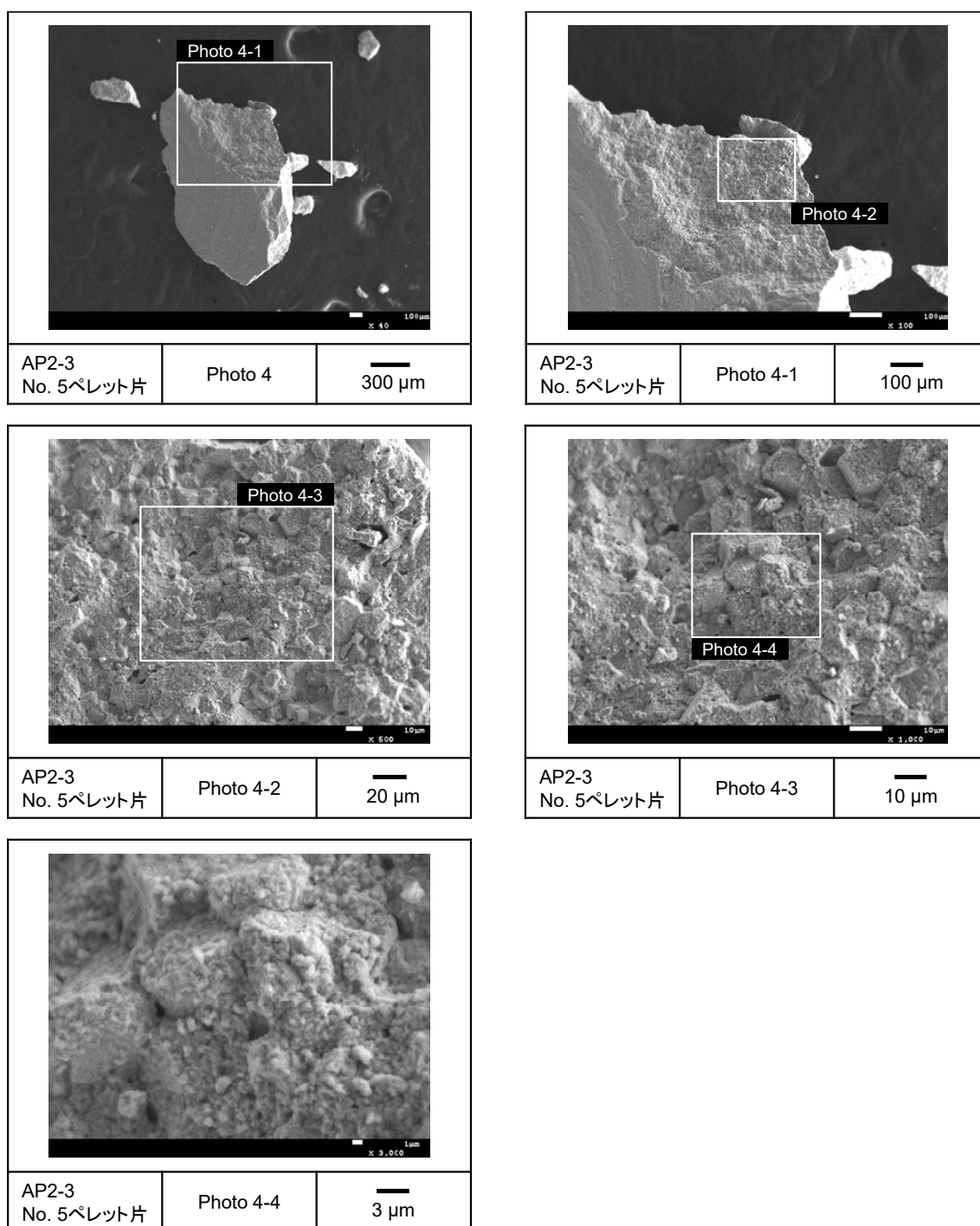


図 4.3.2-22(4) 加熱試験で細片化した燃料ペレット片 No. 5 の SEM 画像
(AP2-3 燃料セグメント)

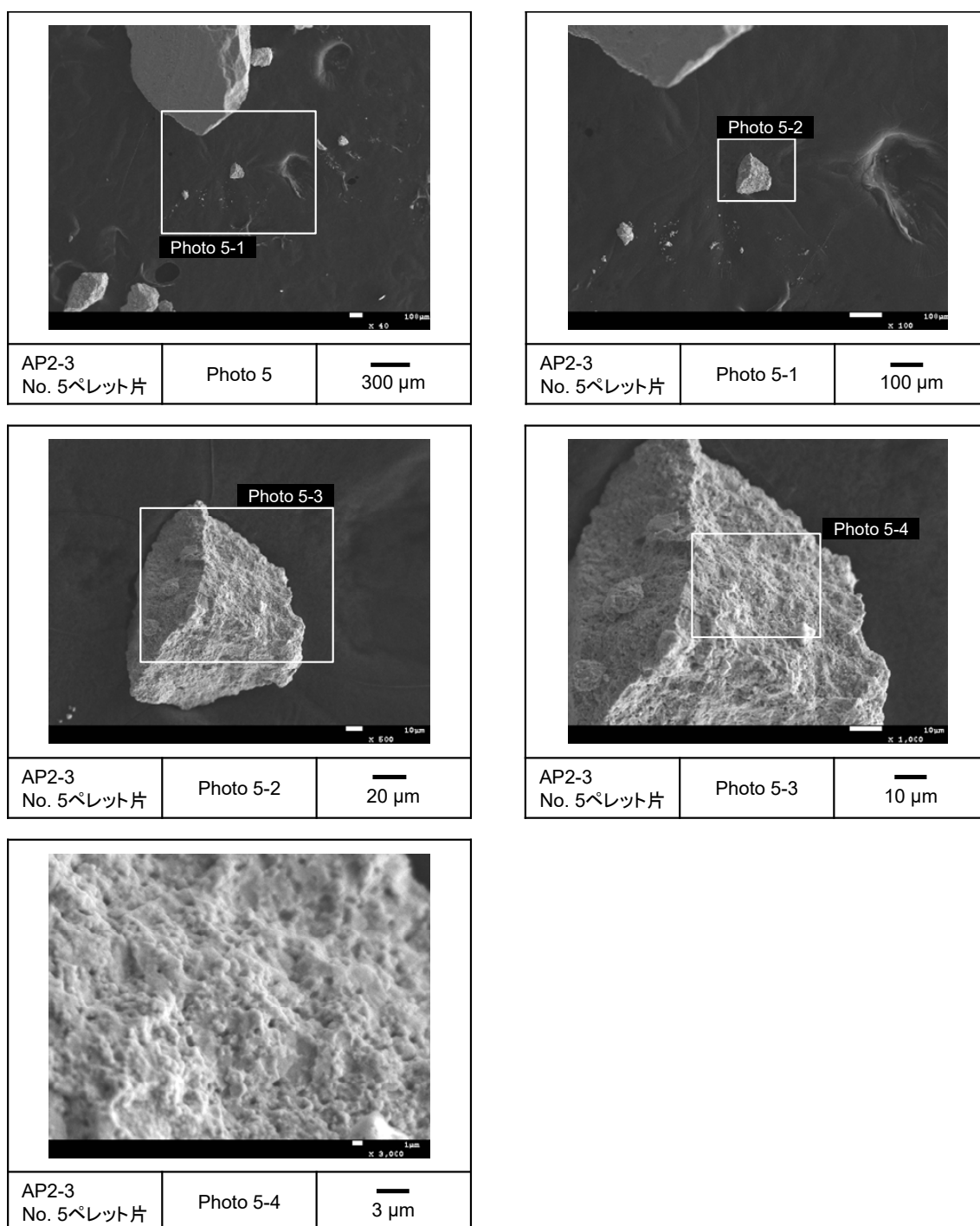


図 4.3.2-22(5) 加熱試験で細片化した燃料ペレット片 No. 5 の SEM 画像
(AP2-3 燃料セグメント)

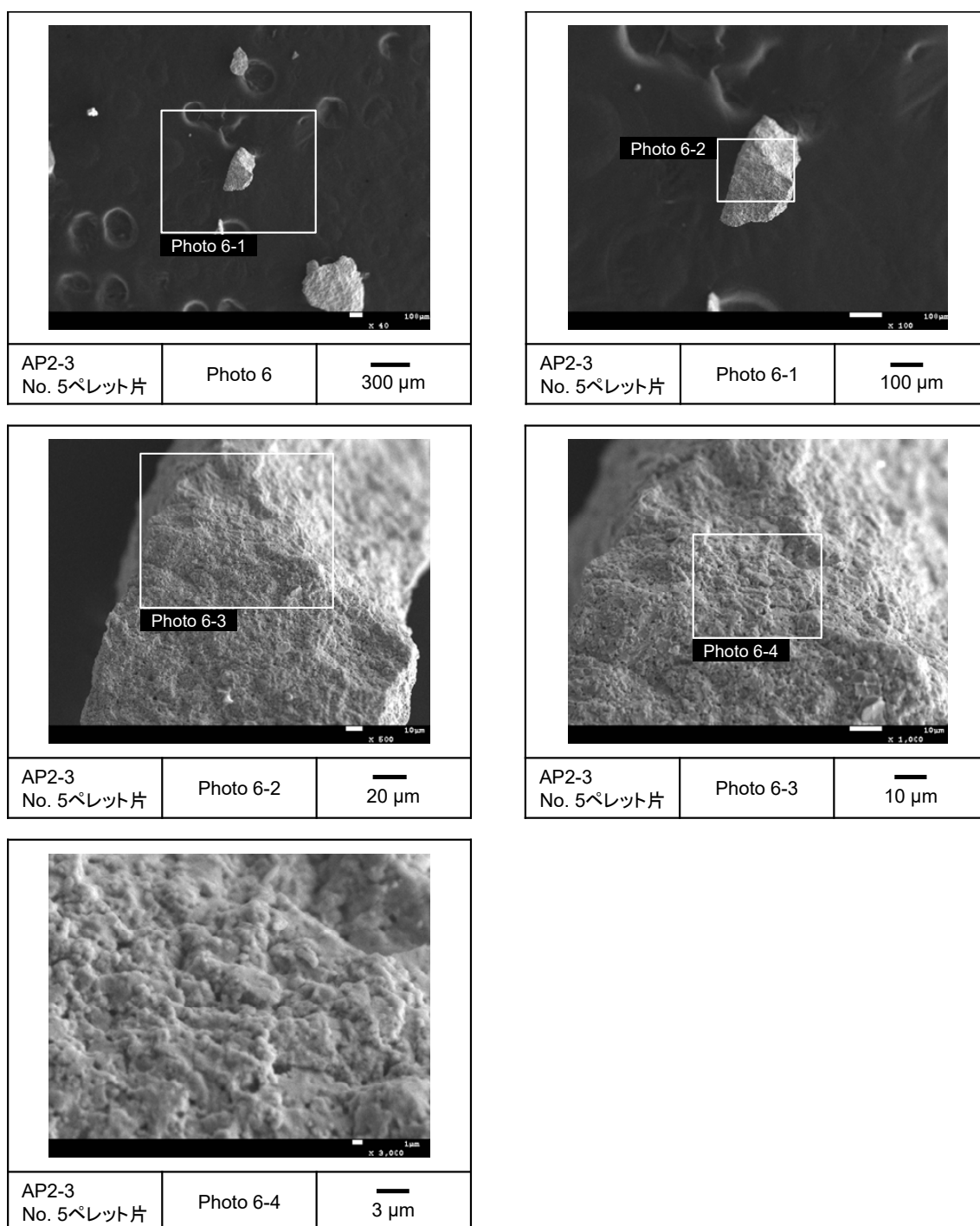


図 4.3.2-22(6) 加熱試験で細片化した燃料ペレット片 No. 5 の SEM 画像
(AP2-3 燃料セグメント)

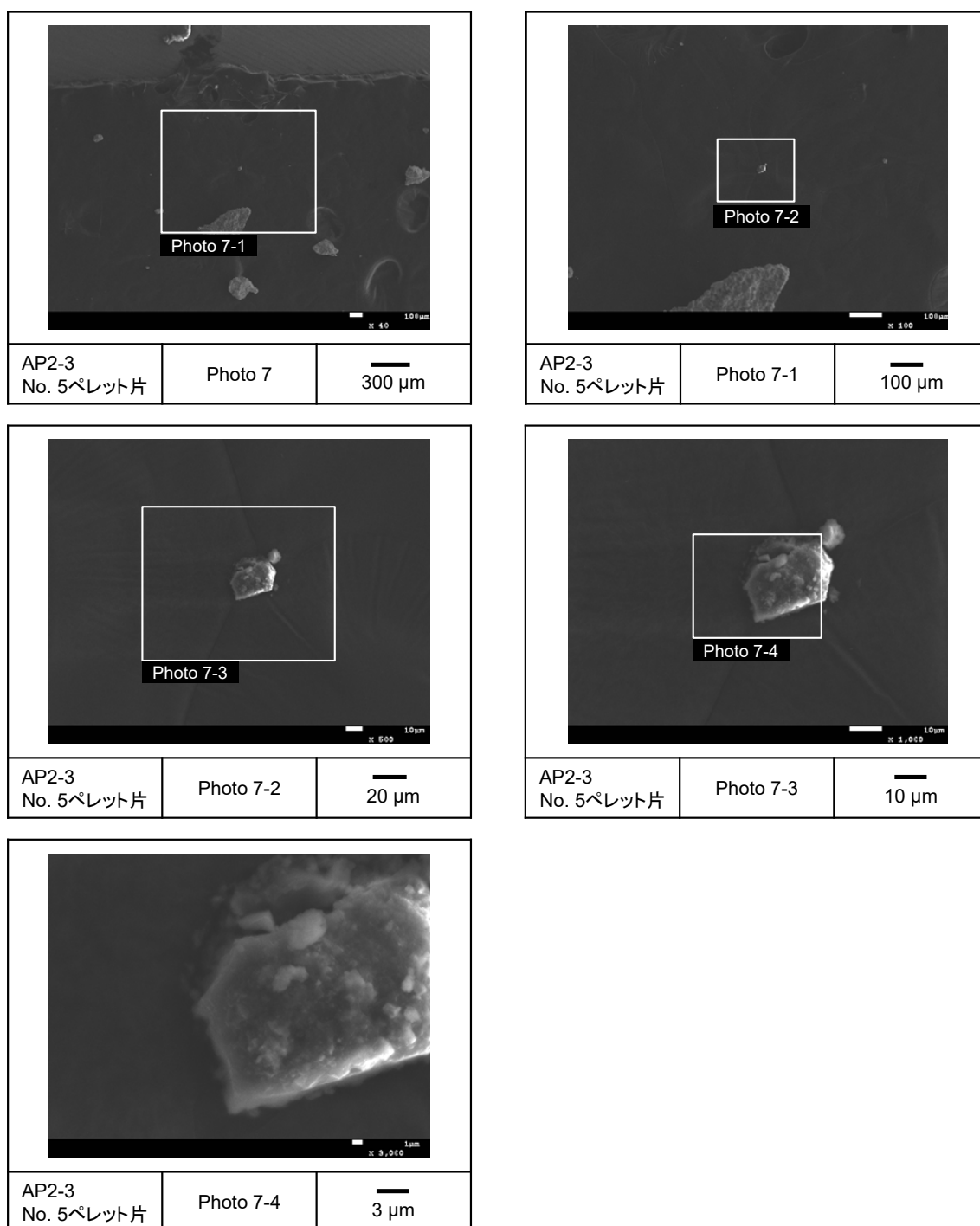
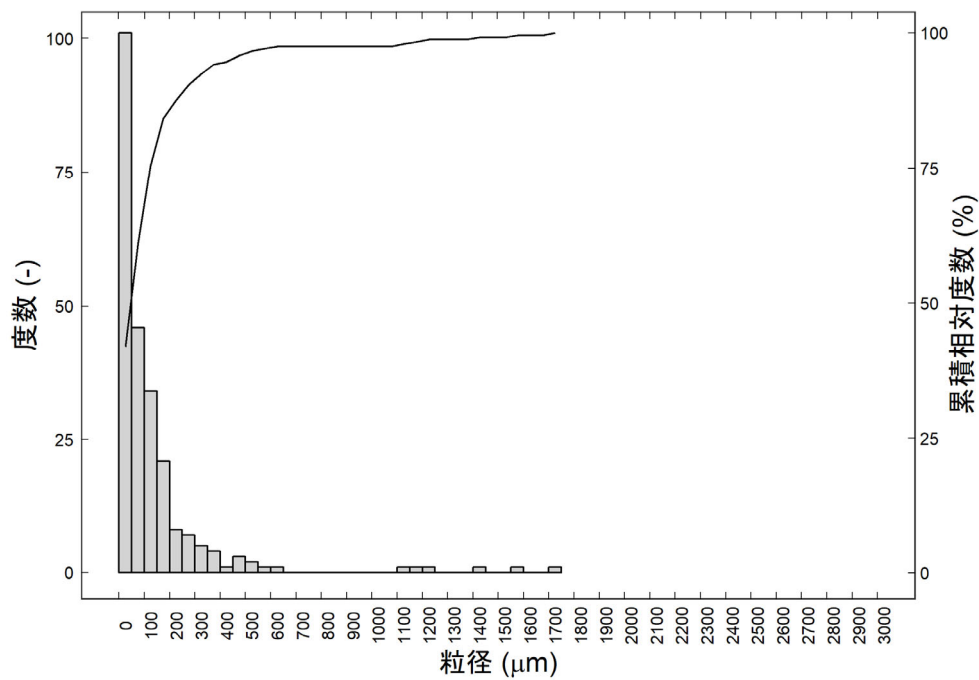
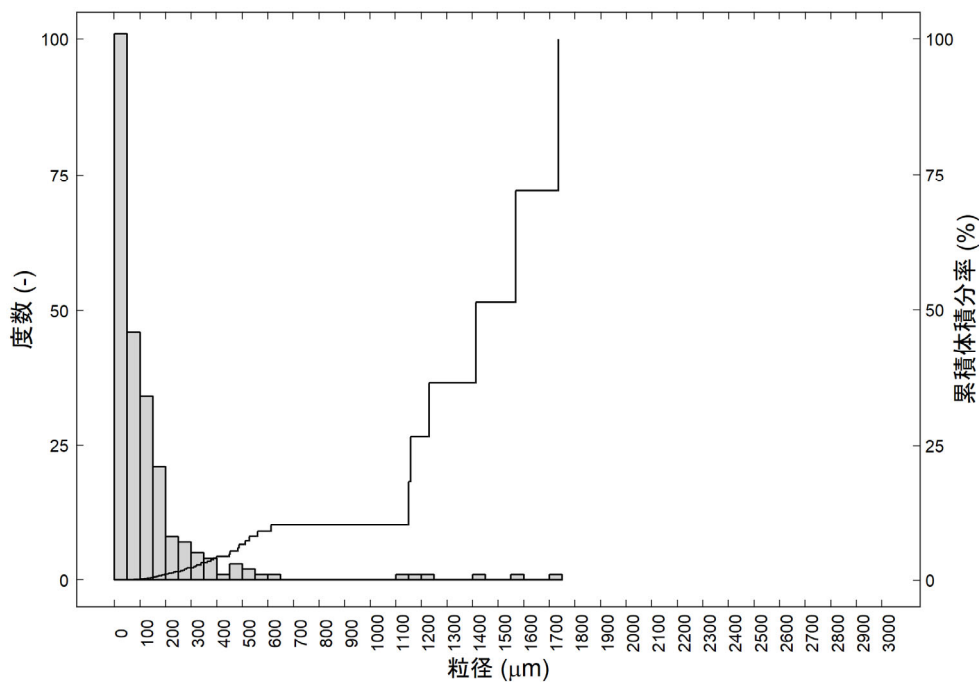


図 4.3.2-22(7) 加熱試験で細片化した燃料ペレット片 No. 5 の SEM 画像
(AP2-3 燃料セグメント)



(a) 粒径分布と累積相対度数



(b) 粒径分布と累積体積分率

図 4.3.2-23 加熱試験で細片化した燃料ペレット片 No. 5 の粒径分布
(AP2-3 燃料セグメント)

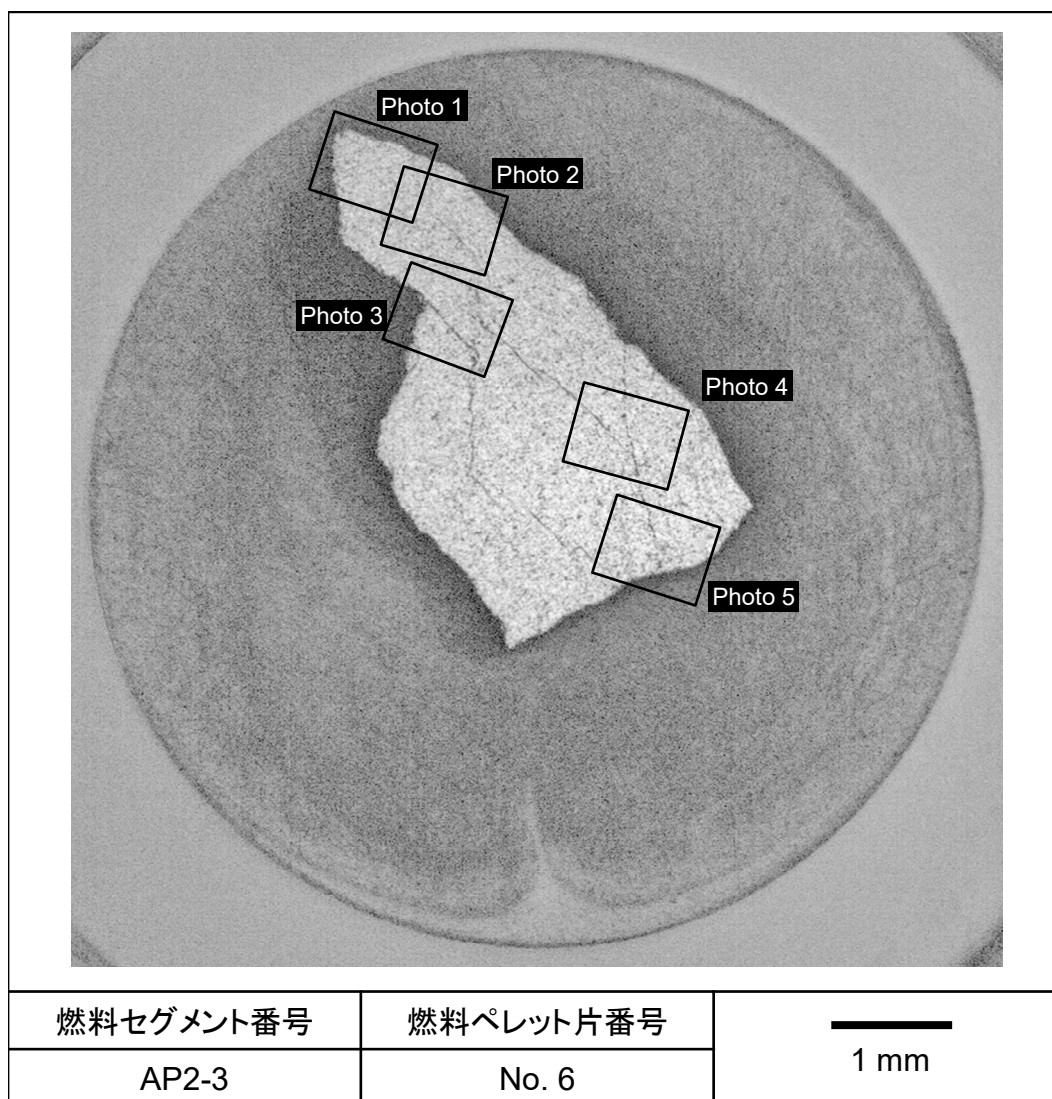


図 4.3.2-24(1) 加熱試験で細片化した燃料ペレット片 No. 6 の断面画像
(エッチング前、AP2-3 燃料セグメント)

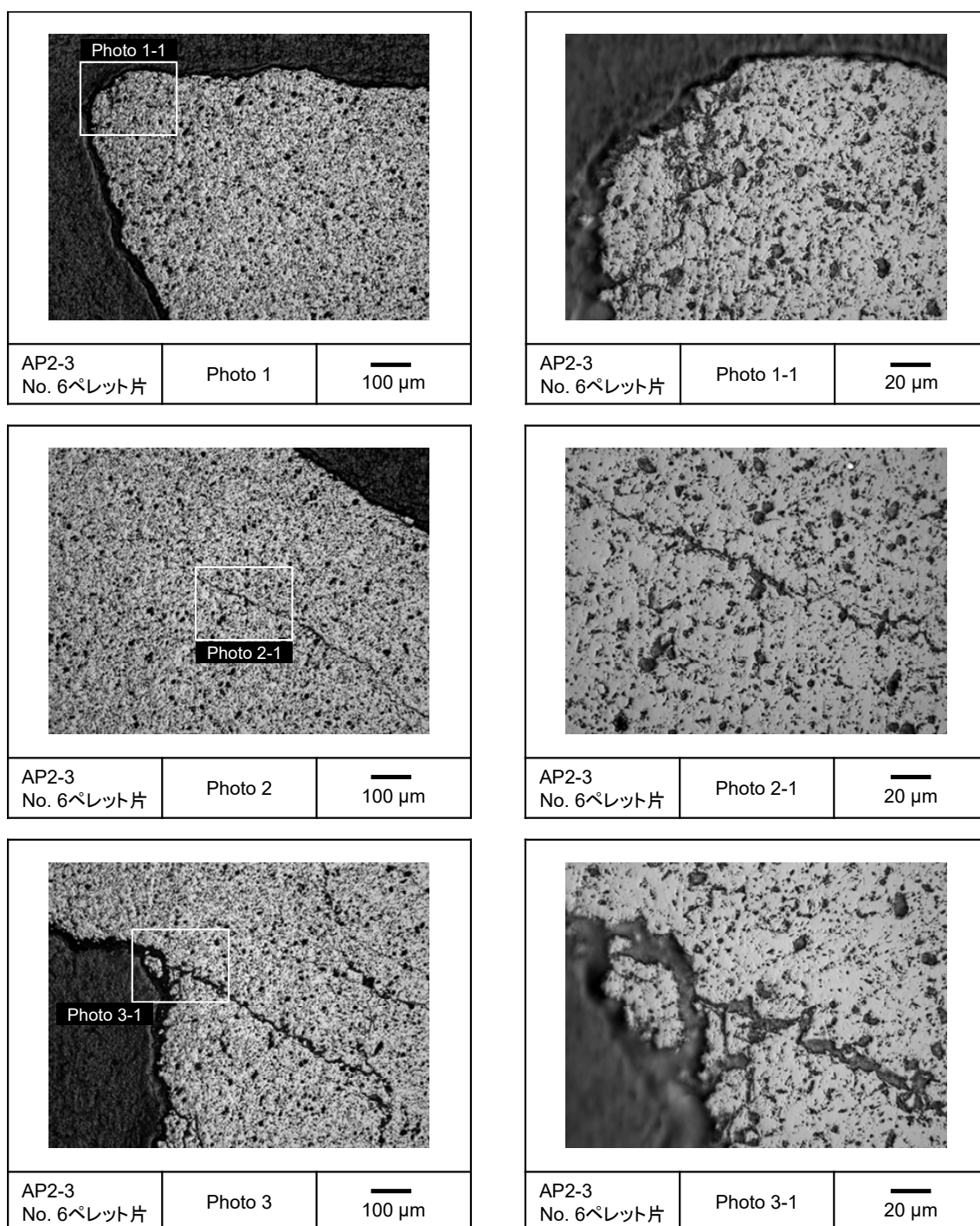


図 4.3.2-24(2) 加熱試験で細片化した燃料ペレット片 No. 6 の断面画像
(エッチング前、AP2-3 燃料セグメント)

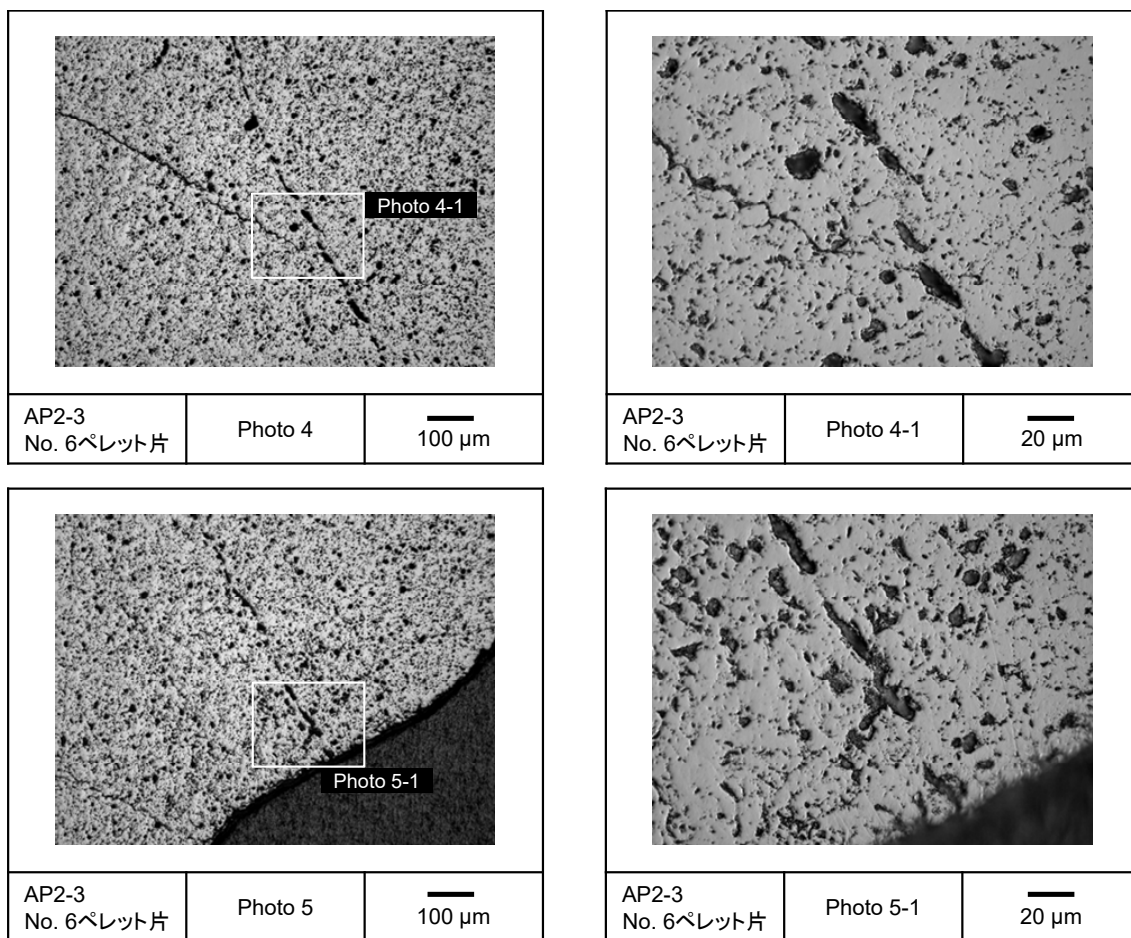


図 4.3.2-24(3) 加熱試験で細片化した燃料ペレット片 No. 6 の断面画像
(エッチング前、AP2-3 燃料セグメント)

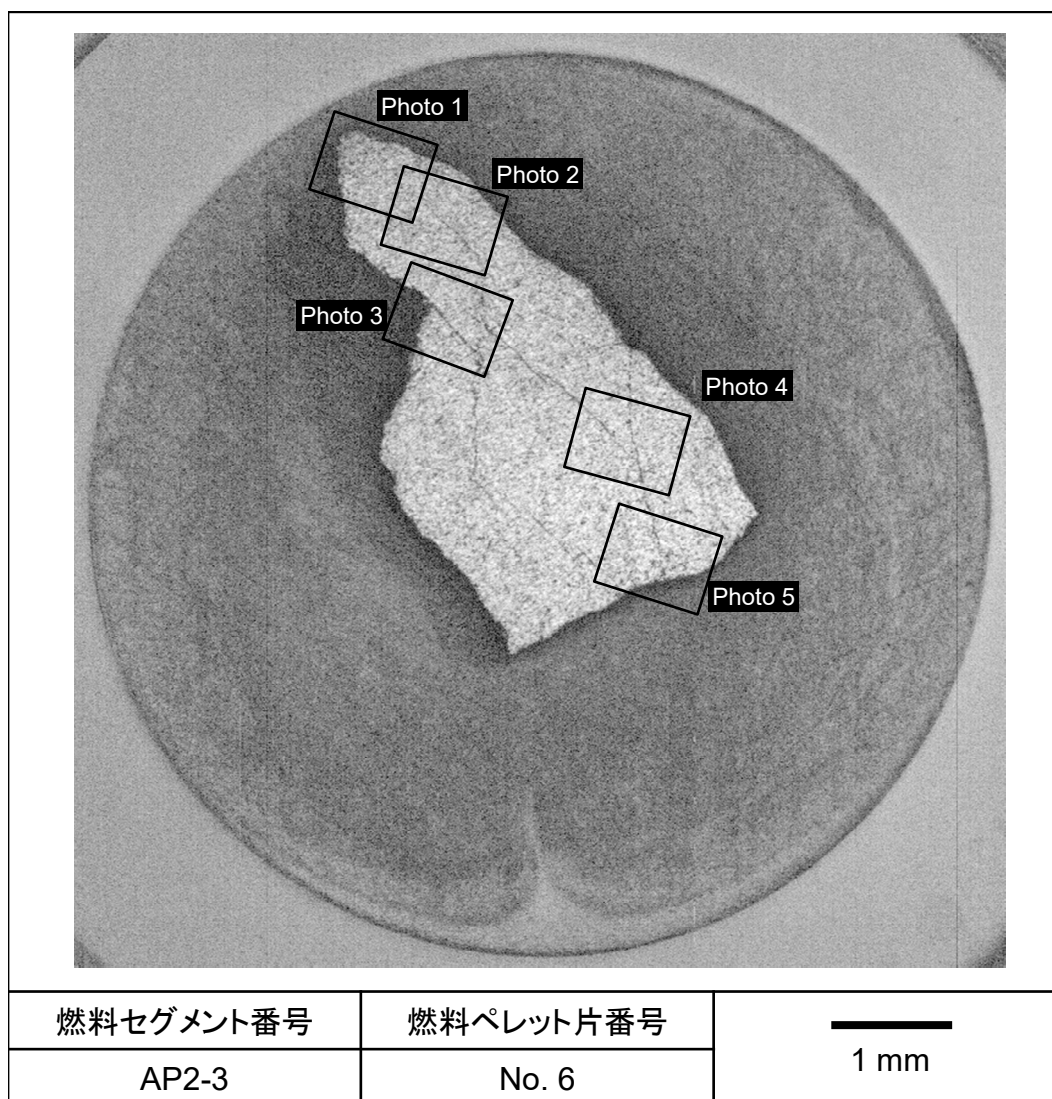


図 4.3.2-25(1) 加熱試験で細片化した燃料ペレット片 No. 6 の断面画像
(エッチング後、AP2-3 燃料セグメント)

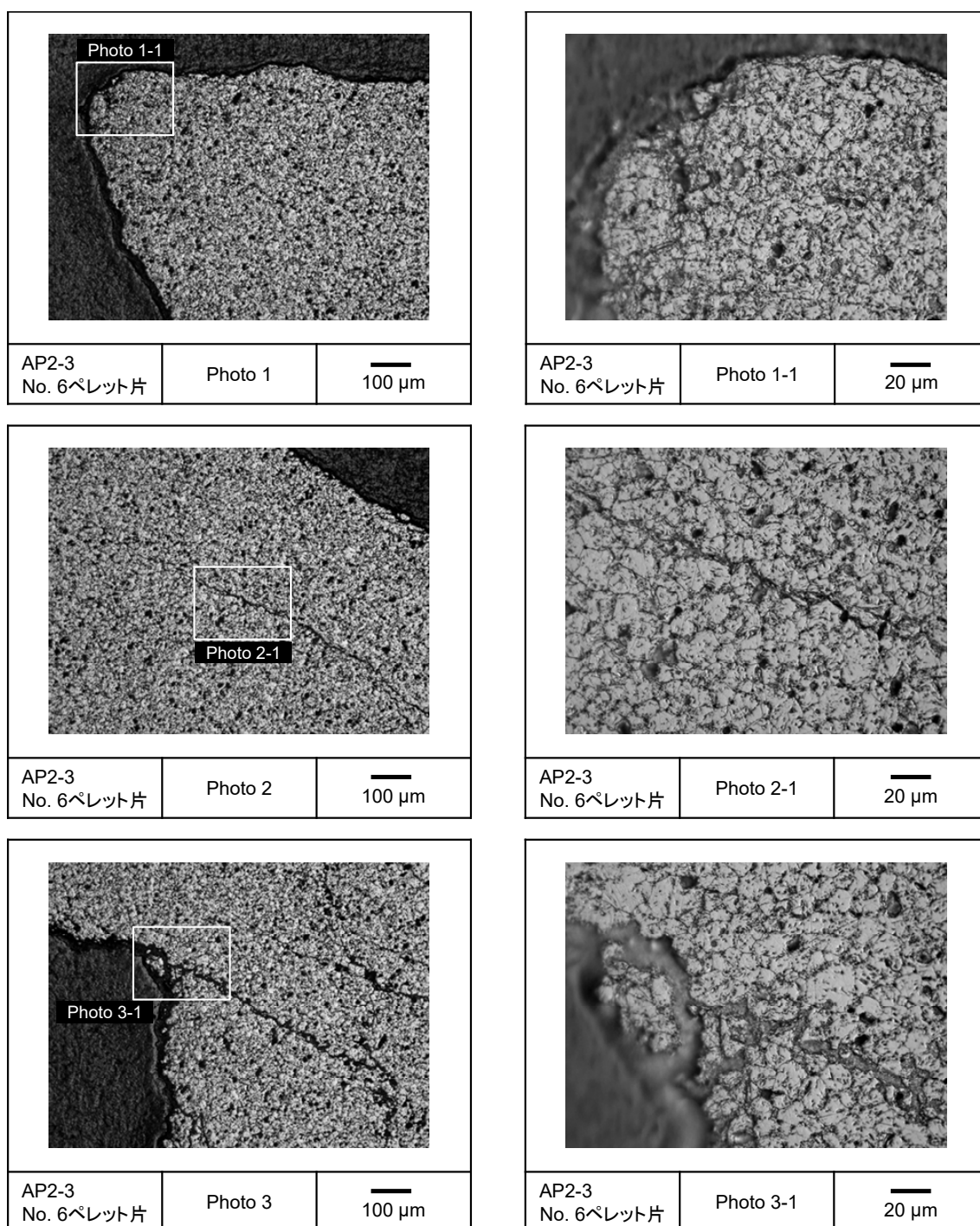


図 4.3.2-25(2) 加熱試験で細片化した燃料ペレット片 No. 6 の断面画像
(エッチング後、AP2-3 燃料セグメント)

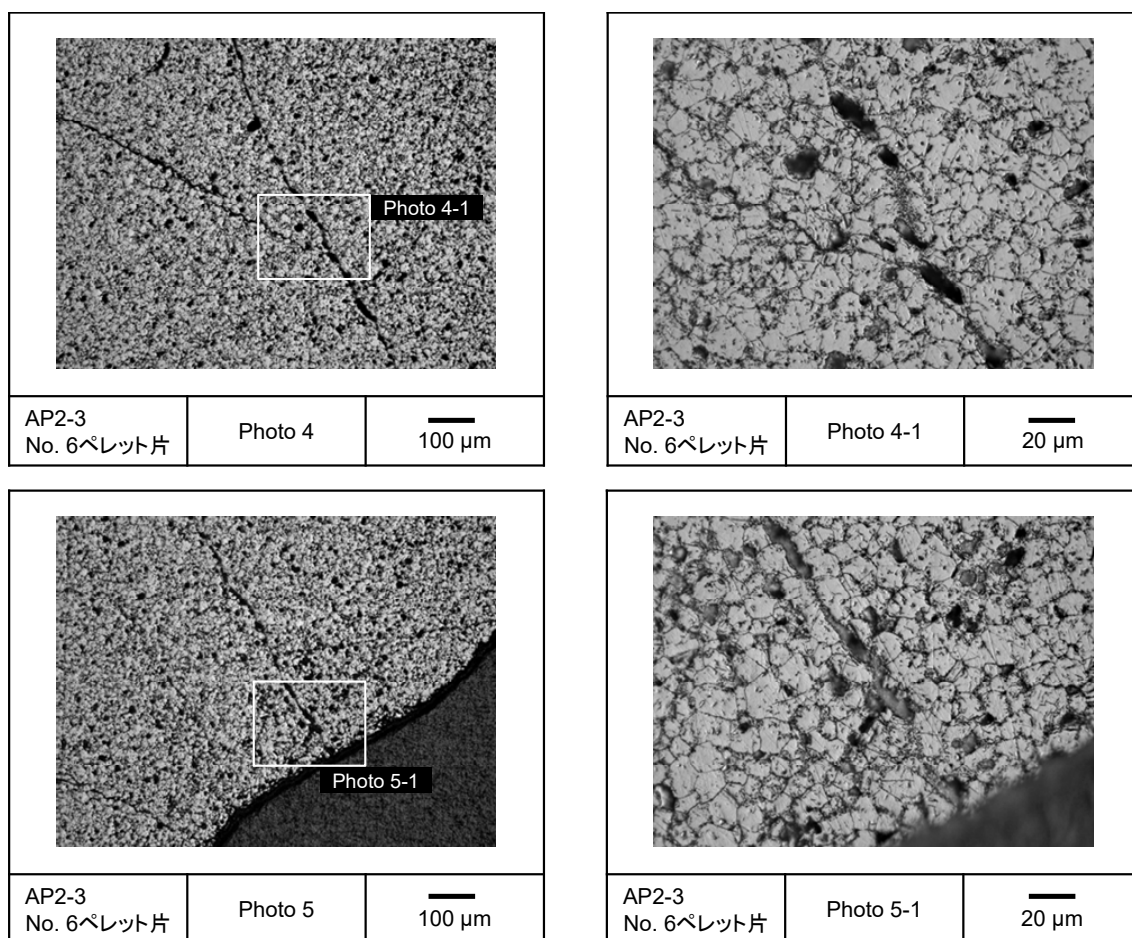


図 4.3.2-25(3) 加熱試験で細片化した燃料ペレット片 No. 6 の断面画像
(エッチング後、AP2-3 燃料セグメント)

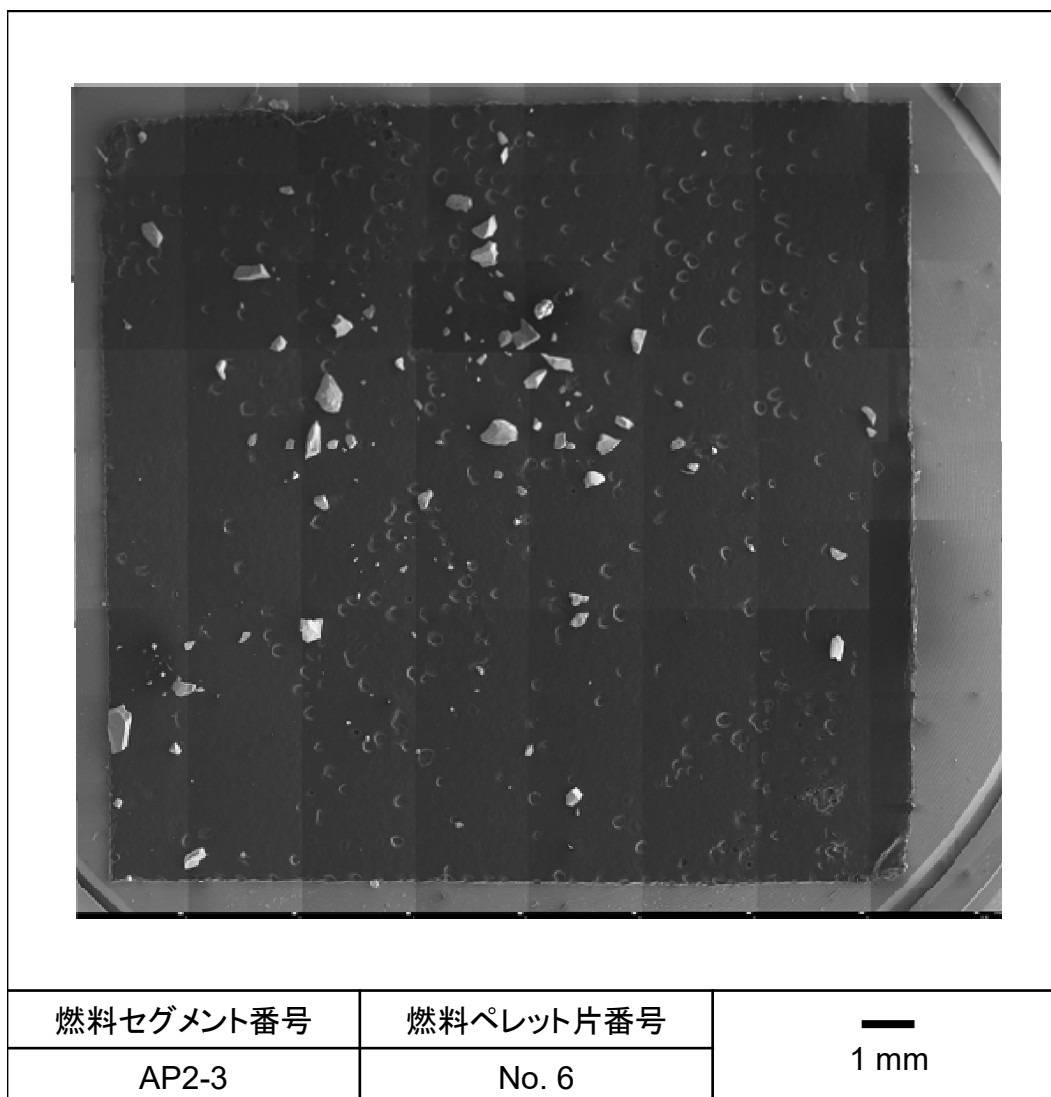


図 4.3.2-26 加熱試験で細片化した燃料ペレット片 No. 6 の SEM 画像
(マクロ画像、AP2-3 燃料セグメント)

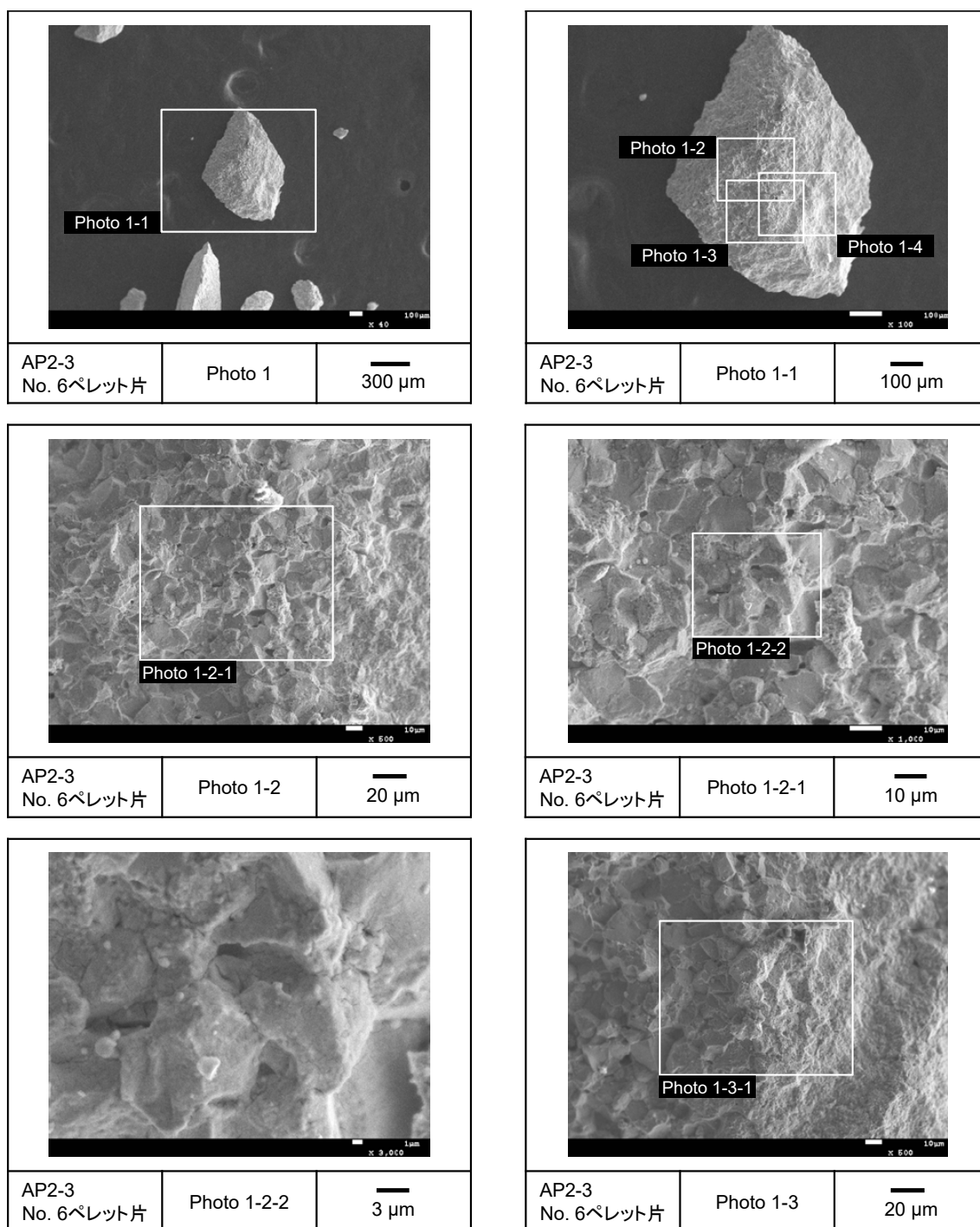


図 4.3.2-27(1) 加熱試験で細片化した燃料ペレット片 No. 6 の SEM 画像
(AP2-3 燃料セグメント)

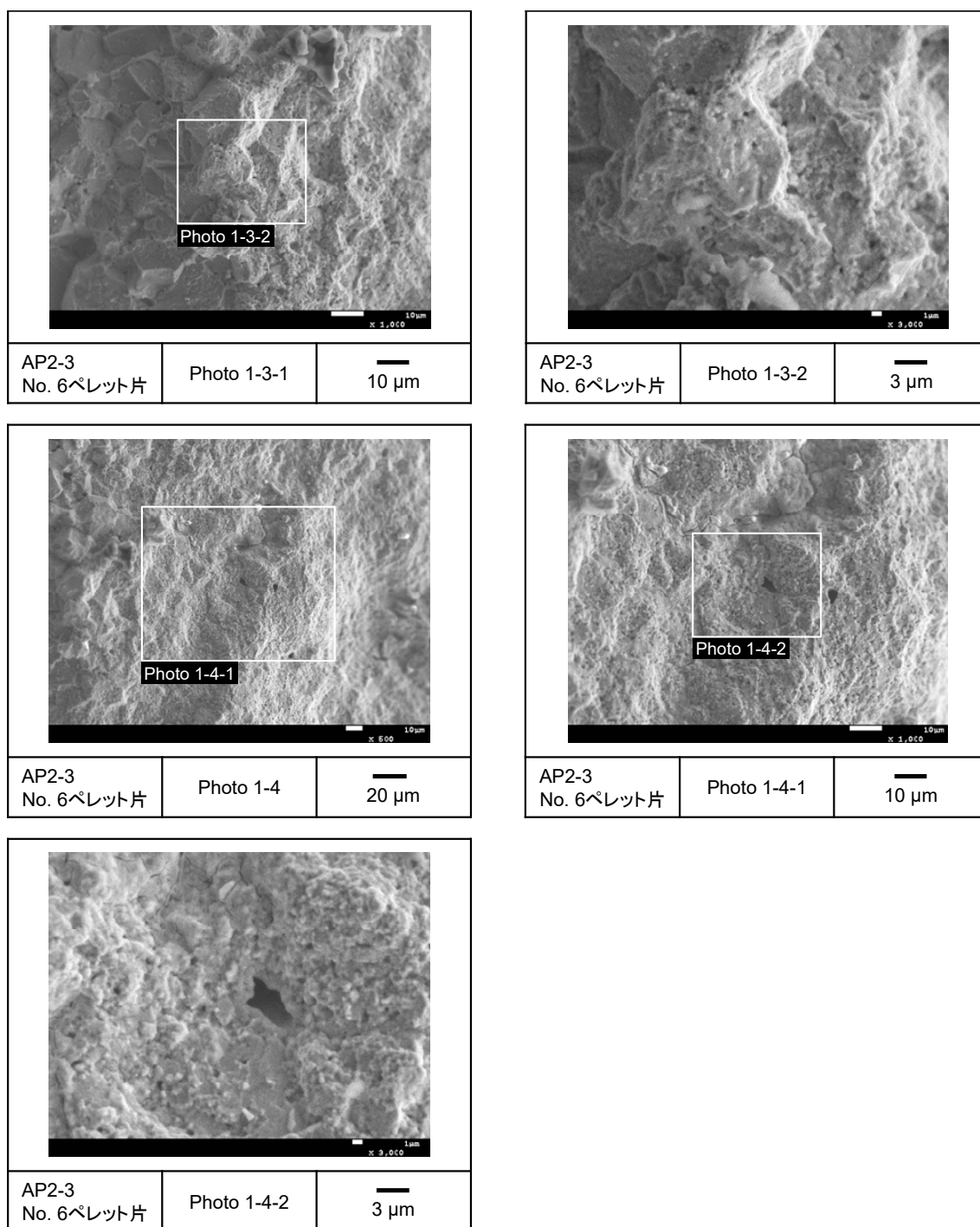


図 4.3.2-27(2) 加熱試験で細片化した燃料ペレット片 No. 6 の SEM 画像
(AP2-3 燃料セグメント)

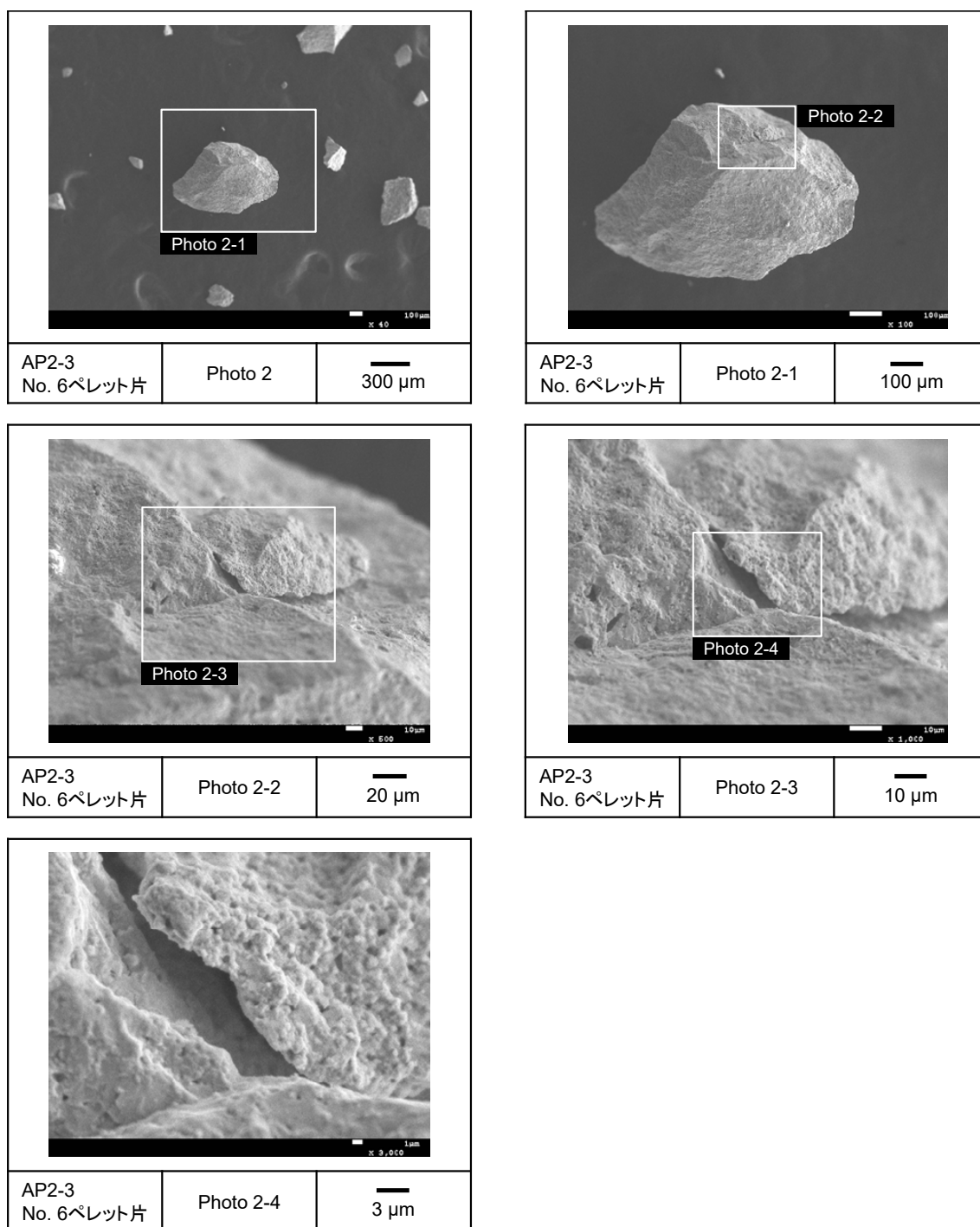


図 4.3.2-27(3) 加熱試験で細片化した燃料ペレット片 No. 6 の SEM 画像
(AP2-3 燃料セグメント)

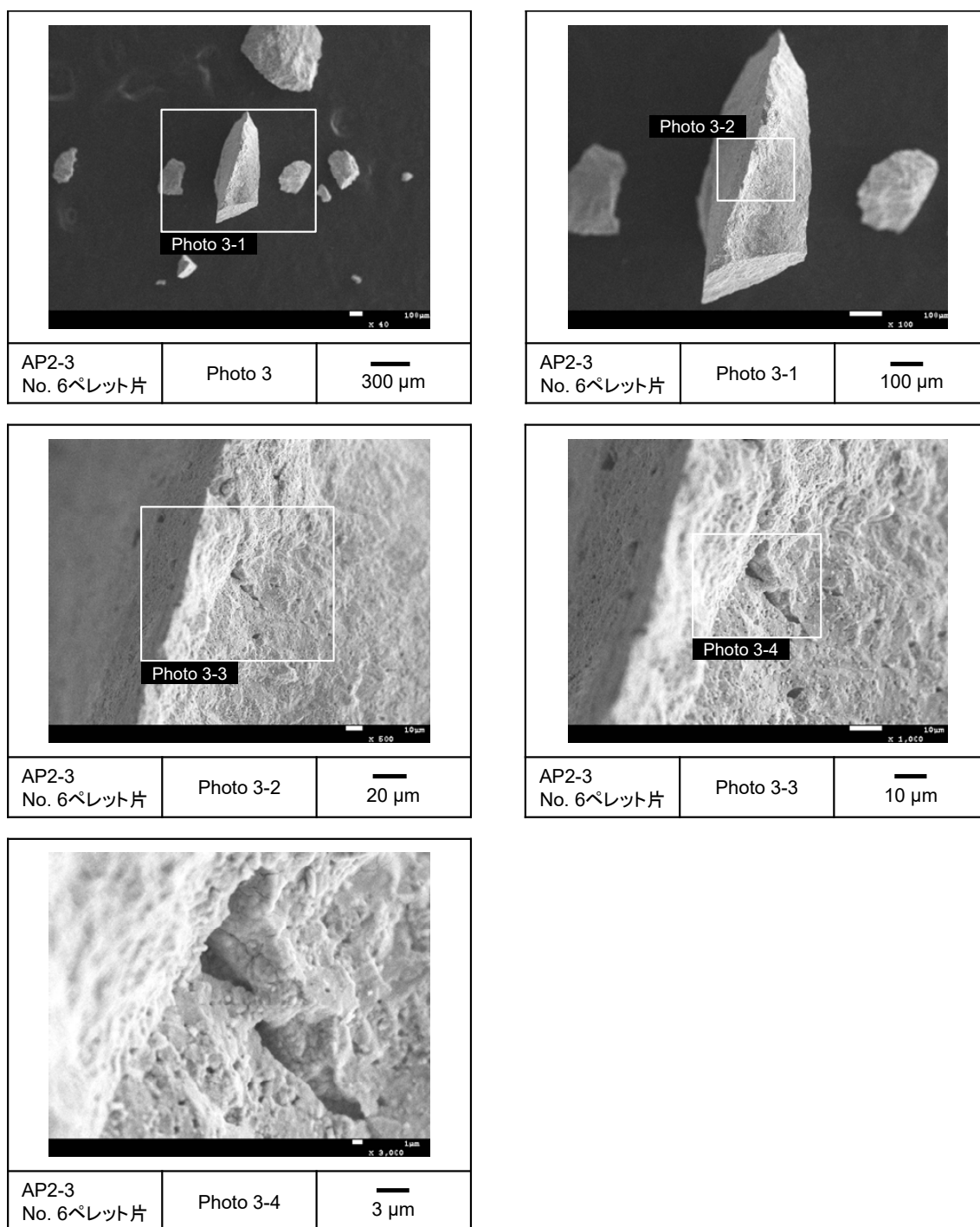


図 4.3.2-27(4) 加熱試験で細片化した燃料ペレット片 No. 6 の SEM 画像
(AP2-3 燃料セグメント)

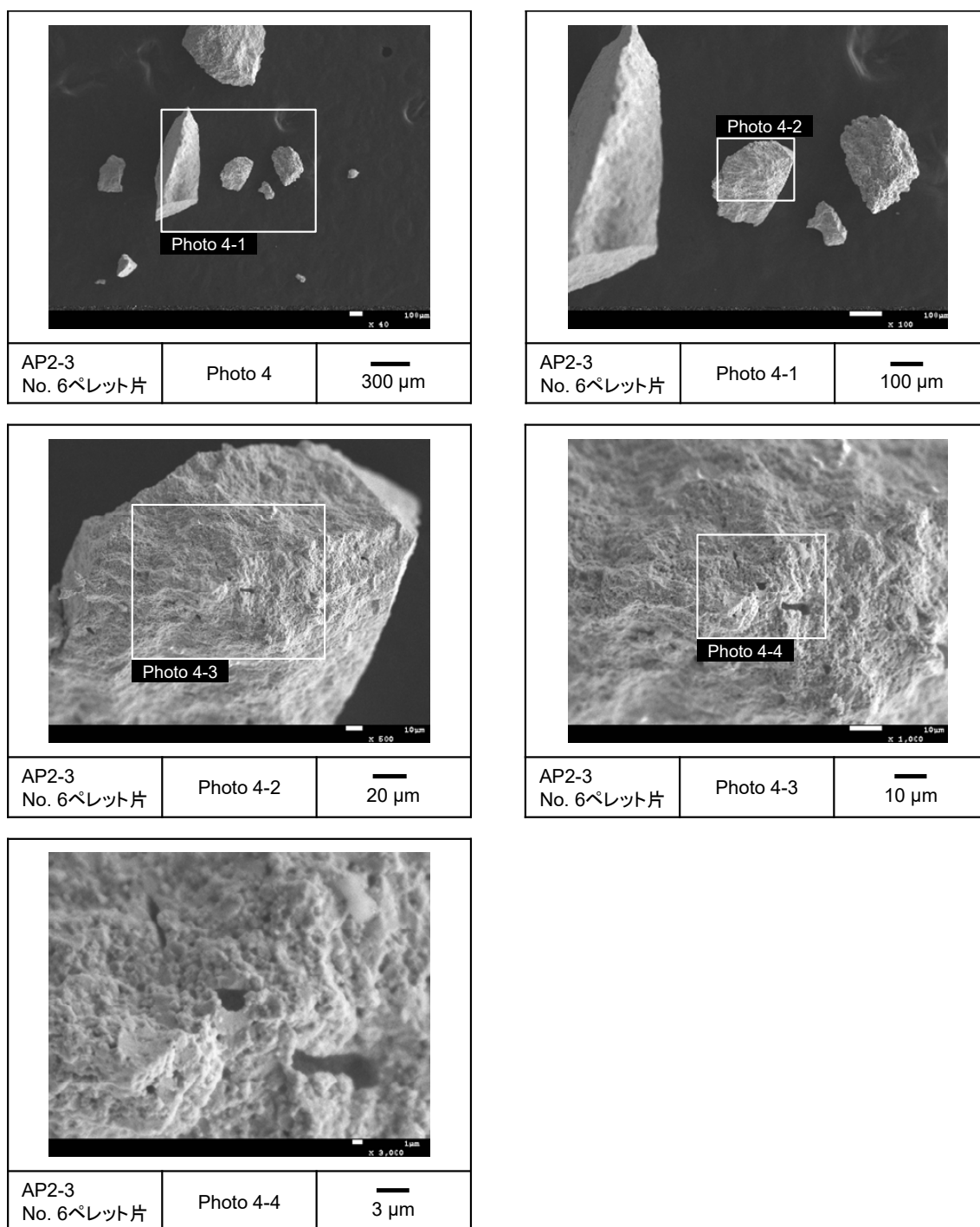


図 4.3.2-27(5) 加熱試験で細片化した燃料ペレット片 No. 6 の SEM 画像
(AP2-3 燃料セグメント)

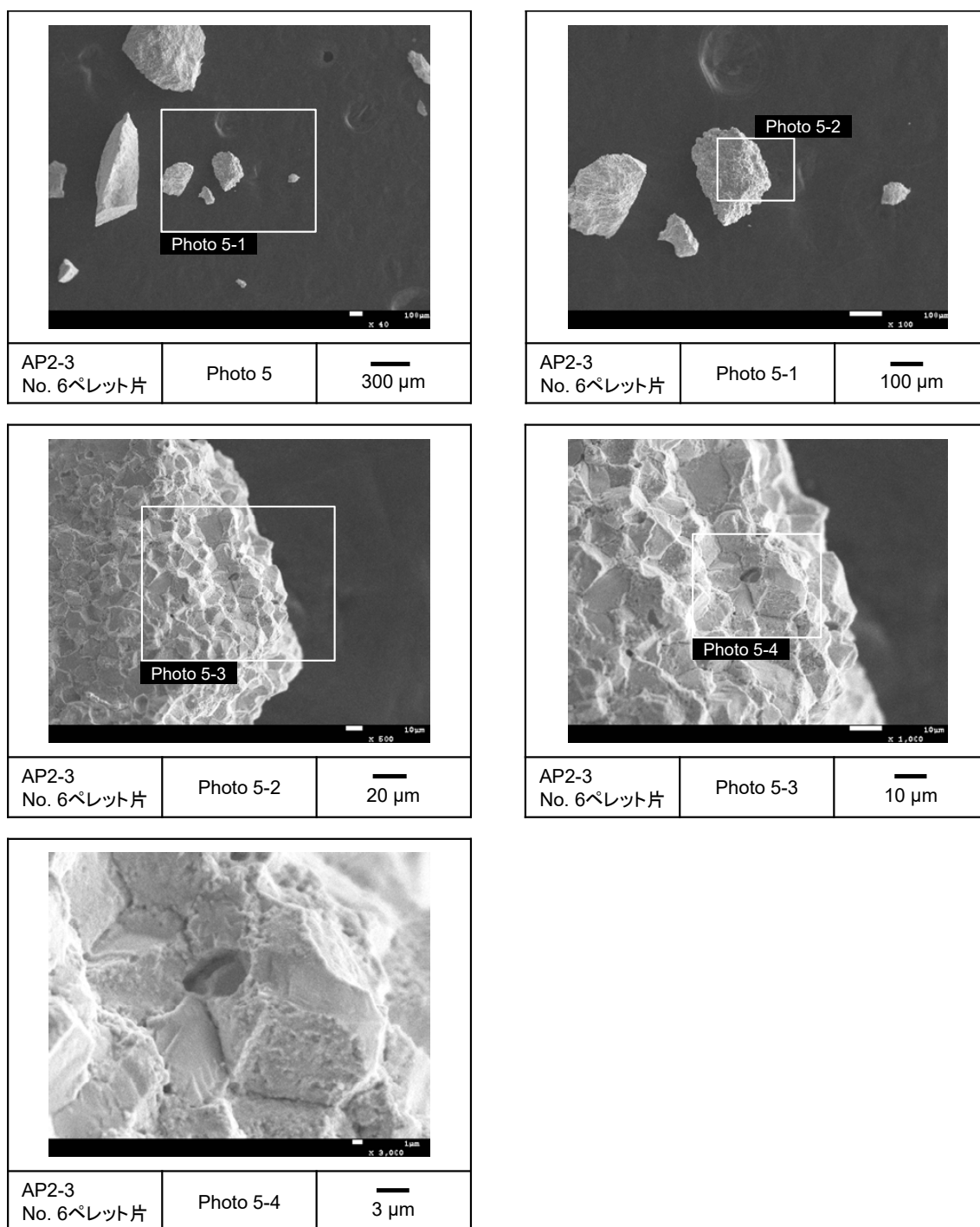


図 4.3.2-27(6) 加熱試験で細片化した燃料ペレット片 No. 6 の SEM 画像
(AP2-3 燃料セグメント)

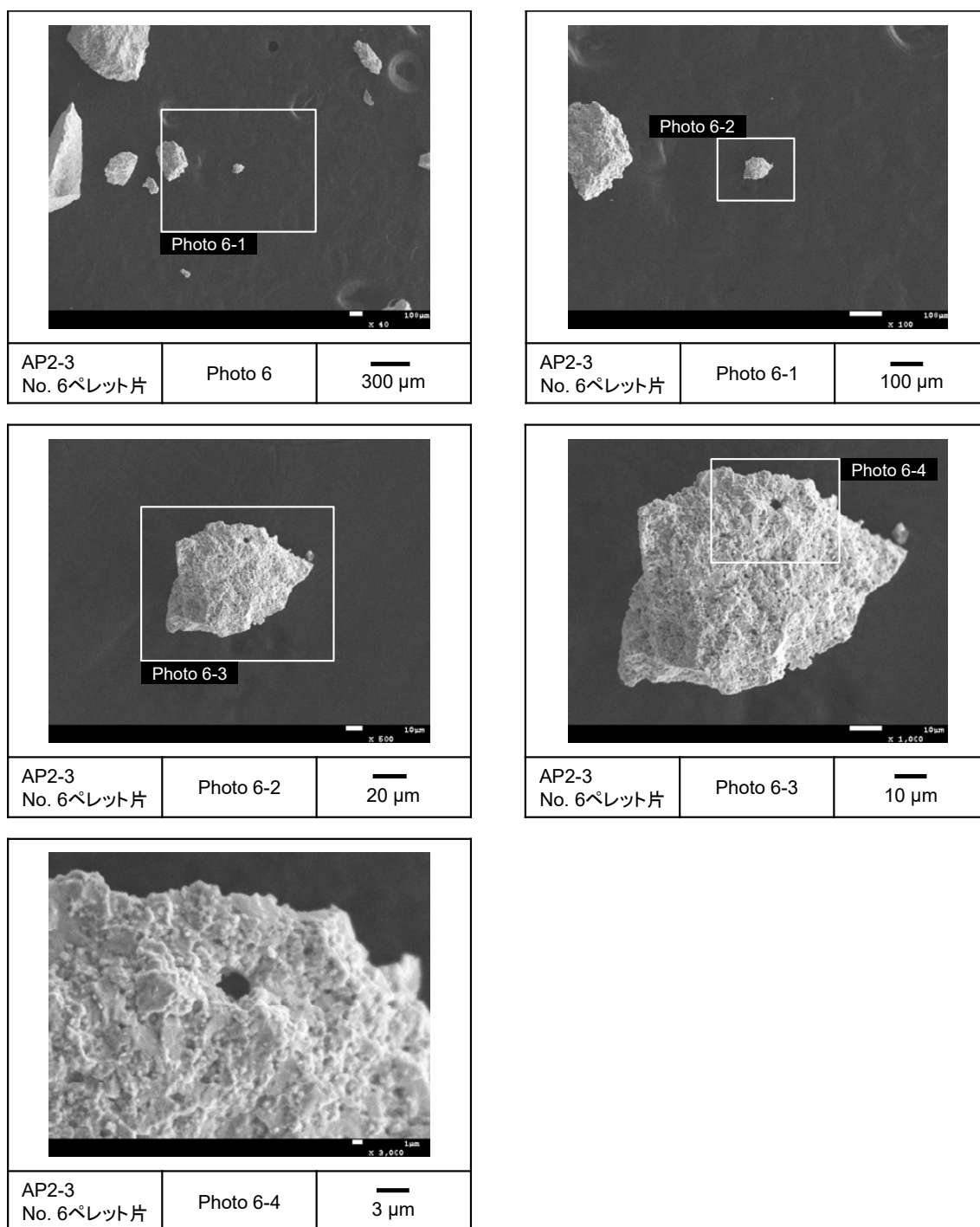


図 4.3.2-27(7) 加熱試験で細片化した燃料ペレット片 No. 6 の SEM 画像
(AP2-3 燃料セグメント)

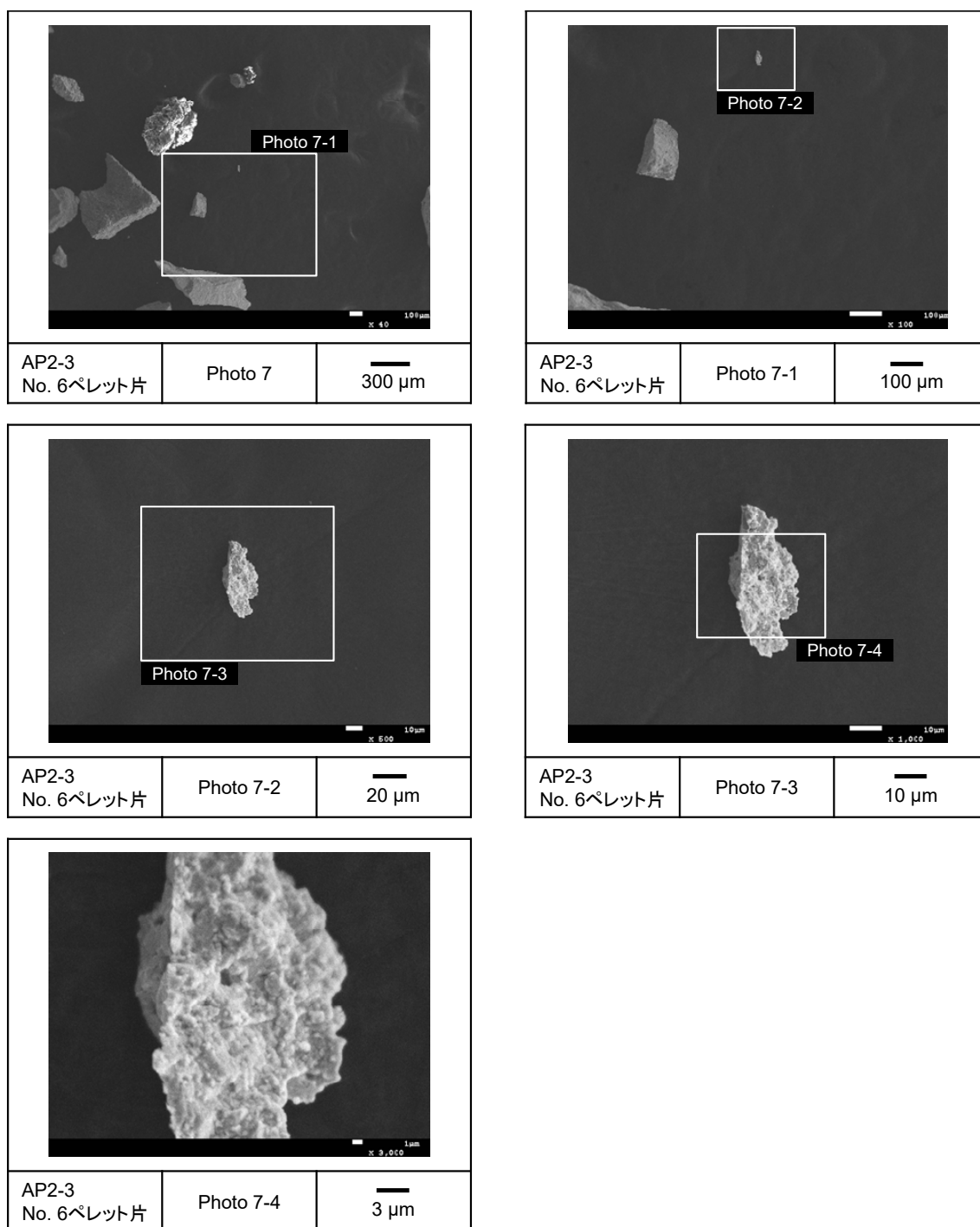


図 4.3.2-27(8) 加熱試験で細片化した燃料ペレット片 No. 6 の SEM 画像
(AP2-3 燃料セグメント)

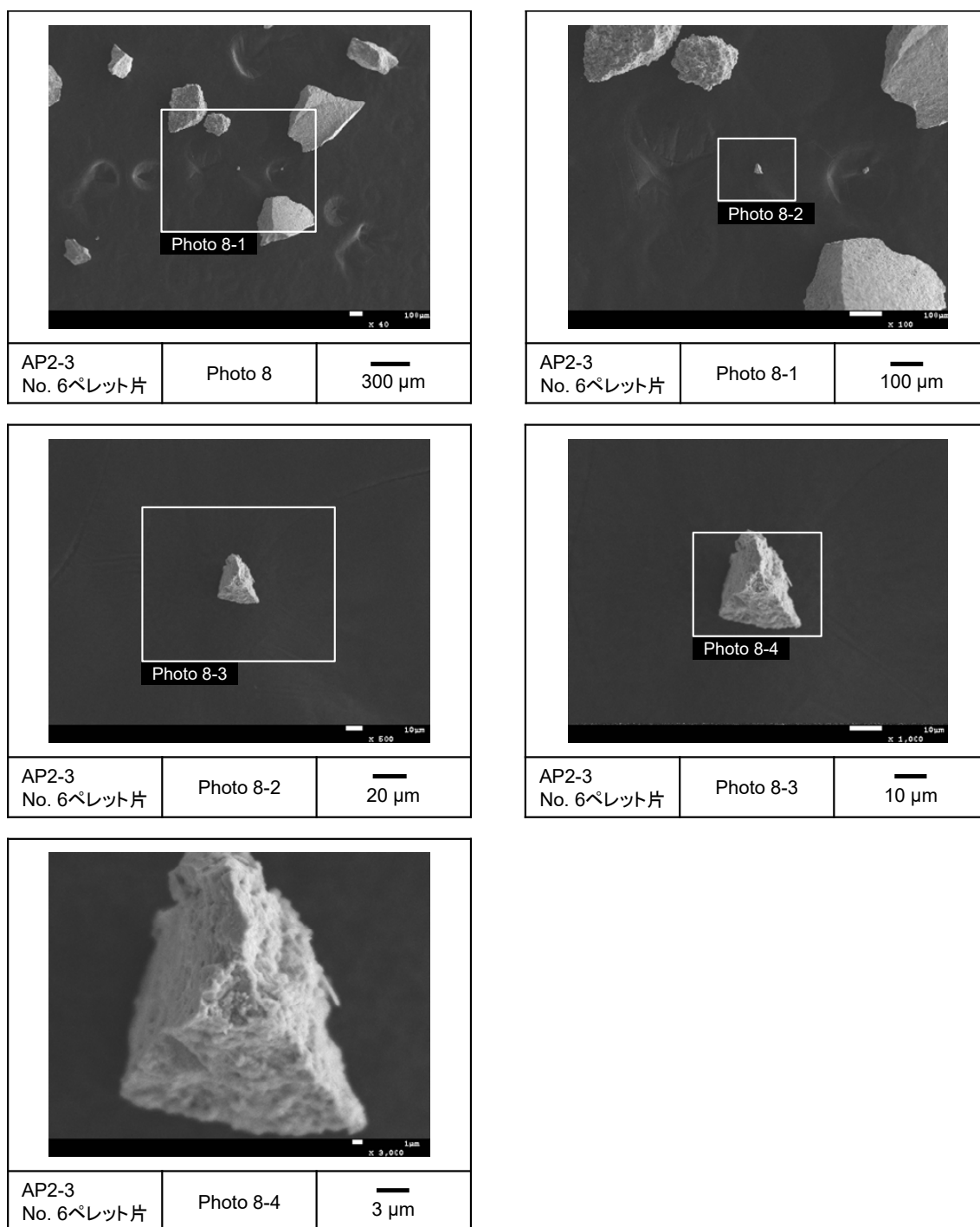


図 4.3.2-27(9) 加熱試験で細片化した燃料ペレット片 No. 6 の SEM 画像
(AP2-3 燃料セグメント)

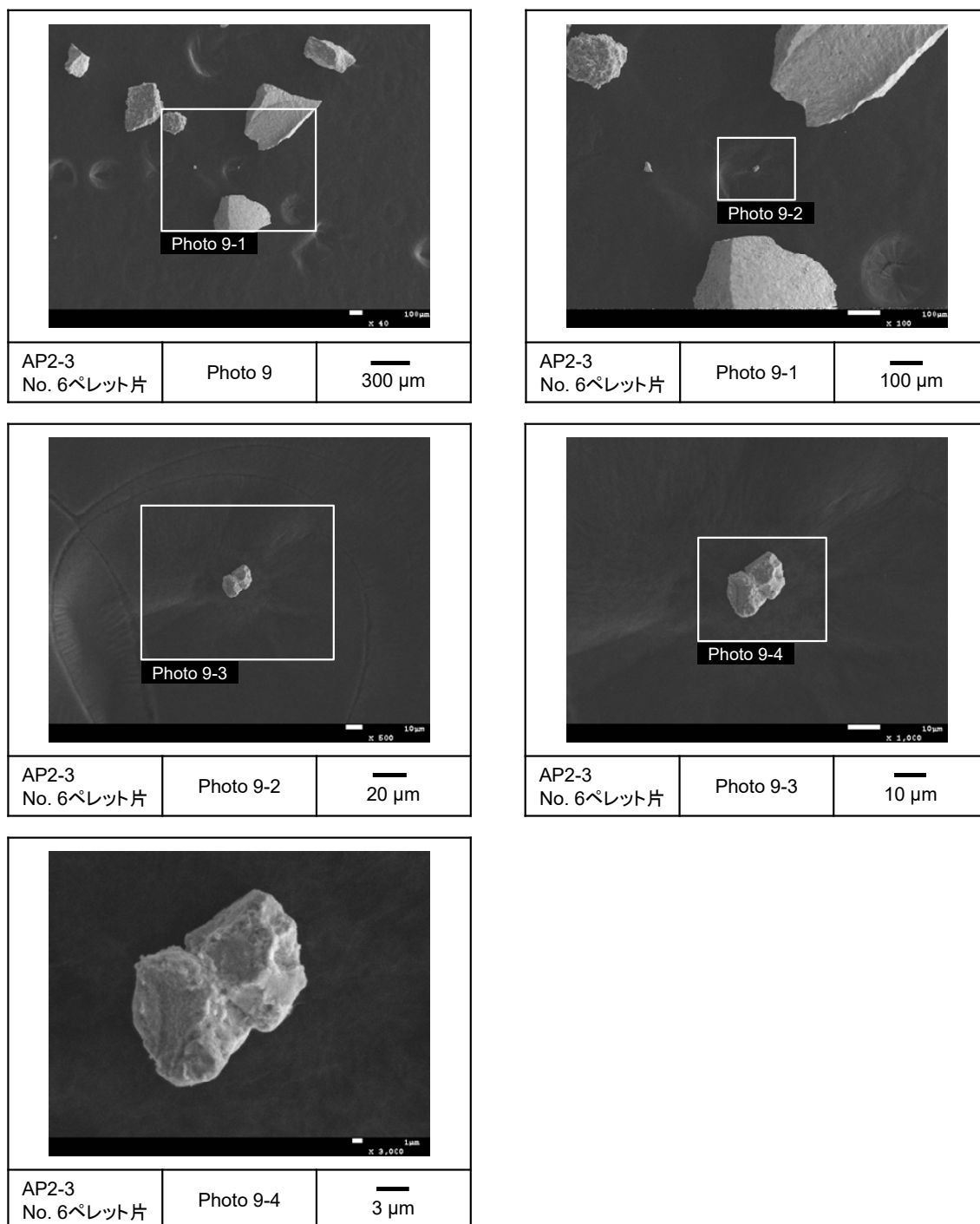


図 4.3.2-27(10) 加熱試験で細片化した燃料ペレット片 No. 6 の SEM 画像
(AP2-3 燃料セグメント)

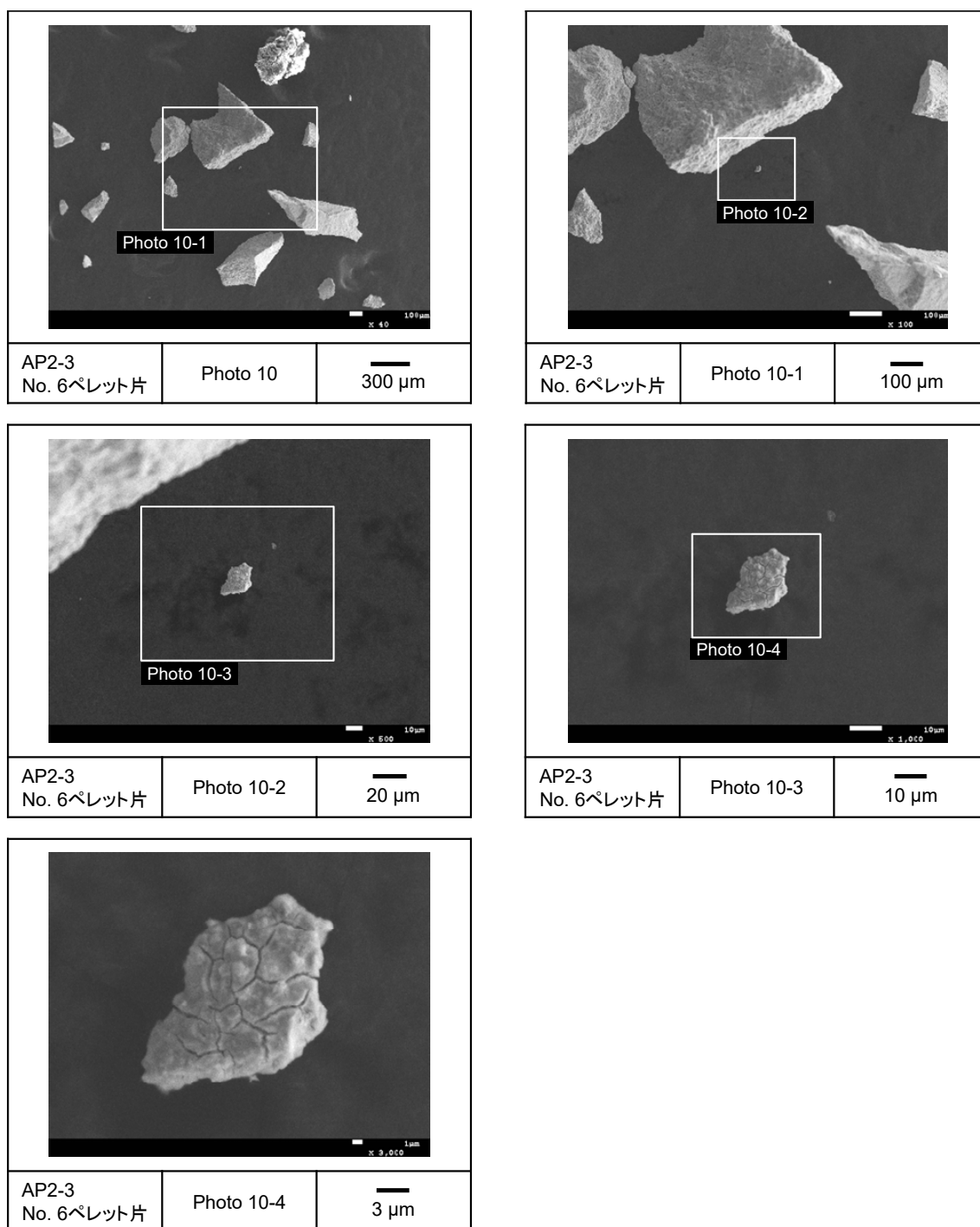
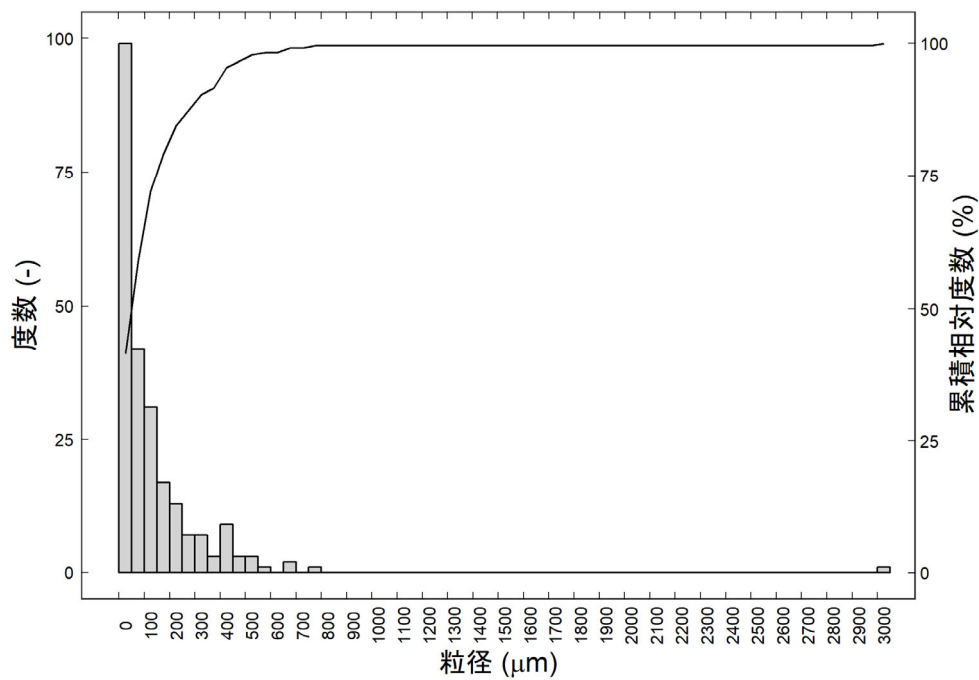
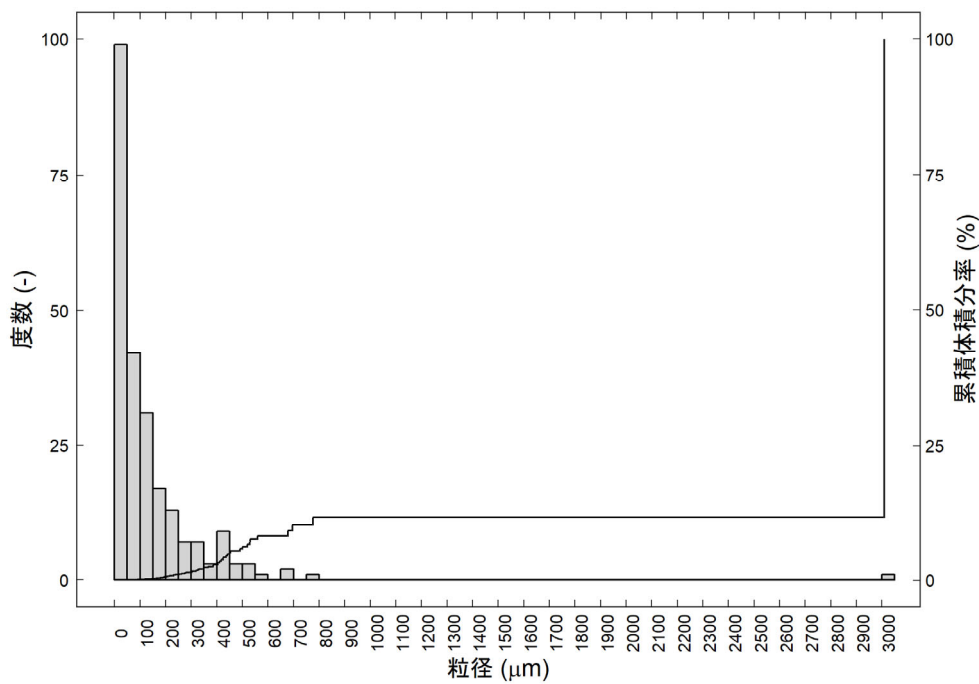


図 4.3.2-27(11) 加熱試験で細片化した燃料ペレット片 No. 6 の SEM 画像
(AP2-3 燃料セグメント)



(a) 粒径分布と粒子数で評価した累積相対度数



(b) 粒径分布と累積体積分率

図 4.3.2-28 加熱試験で細片化した燃料ペレット片 No. 6 の粒径分布
(AP2-3 燃料セグメント)

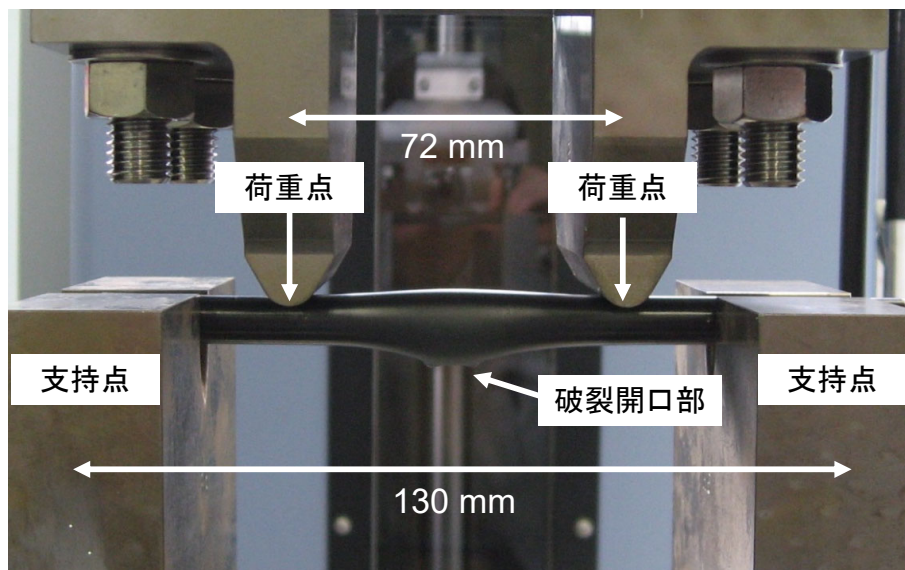


図 4.3.3-1 既設四点曲げ試験装置の概要^(x)

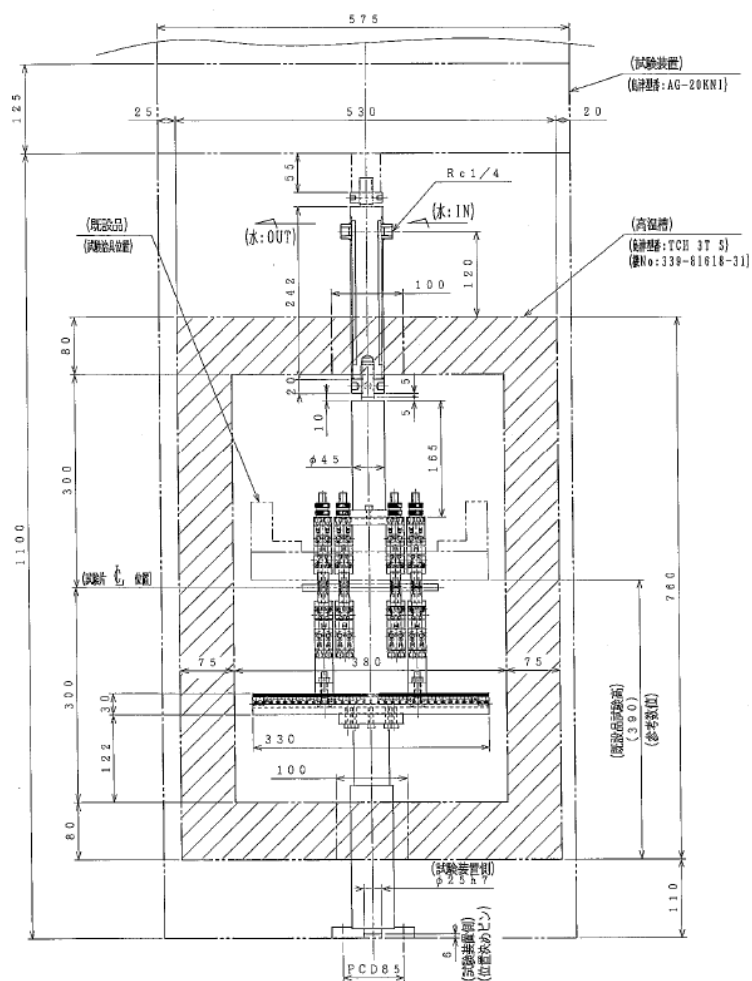
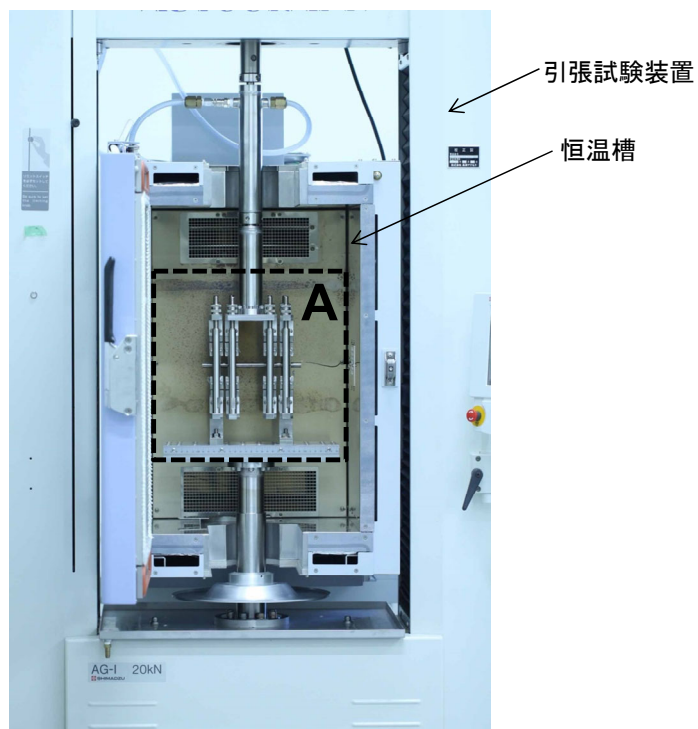
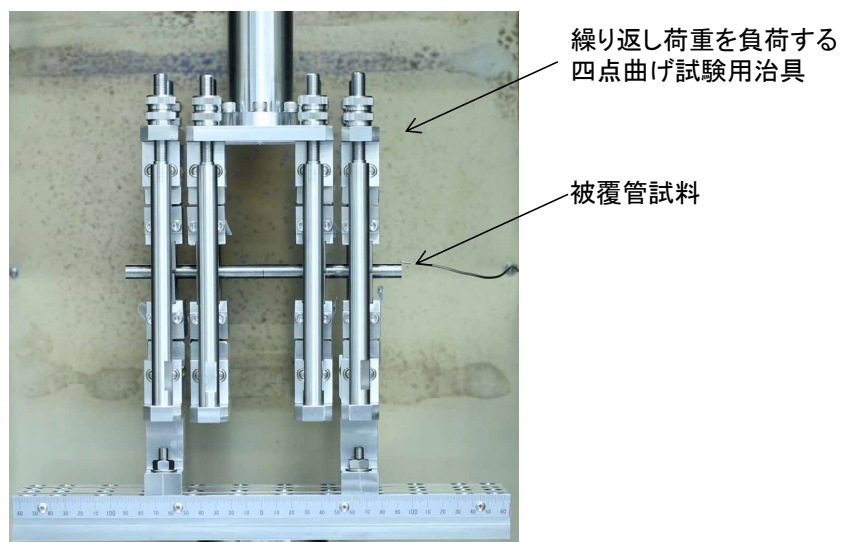


図 4.3.3-2 繰り返し荷重を負荷する四点曲げ試験装置の概略図



(a) 装置全体



(b) A 部拡大

図 4.3.3-3 繰り返し荷重を負荷する四点曲げ試験装置の外観

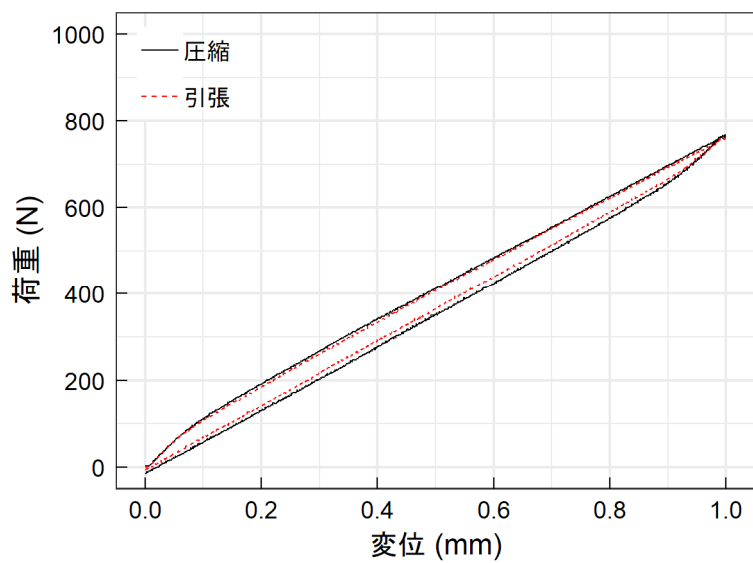


図 4.3.3-4 荷重-変位曲線
(PWR 用 17×17 型非照射ジルカロイ-4 被覆管 (受取管))